

R-функции в математическом моделировании геометрических объектов и физических полей

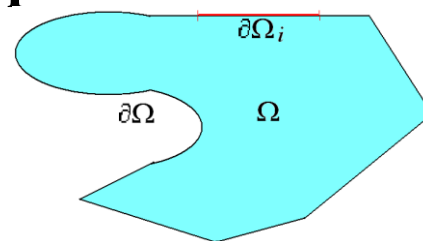
**к.ф.-м.н., доц.
Максименко-Шейко К.В.**

В период формирования информационного общества **математическое моделирование** можно рассматривать как один из методов познания реального мира, как **интеллектуальное ядро быстро развивающихся информационных технологий.**

Совокупность понятий и отношений, выраженных при помощи системы математических символов, уравнений, обозначений и отражающих некоторые свойства изучаемого объекта, и называют математической моделью этого объекта.

Математическими моделями физических полей (гидро-аэродинамических, температурных, электромагнитных, магнитогидродинамических, силовых и др.) являются **краевые задачи математической физики в областях сложной формы.**

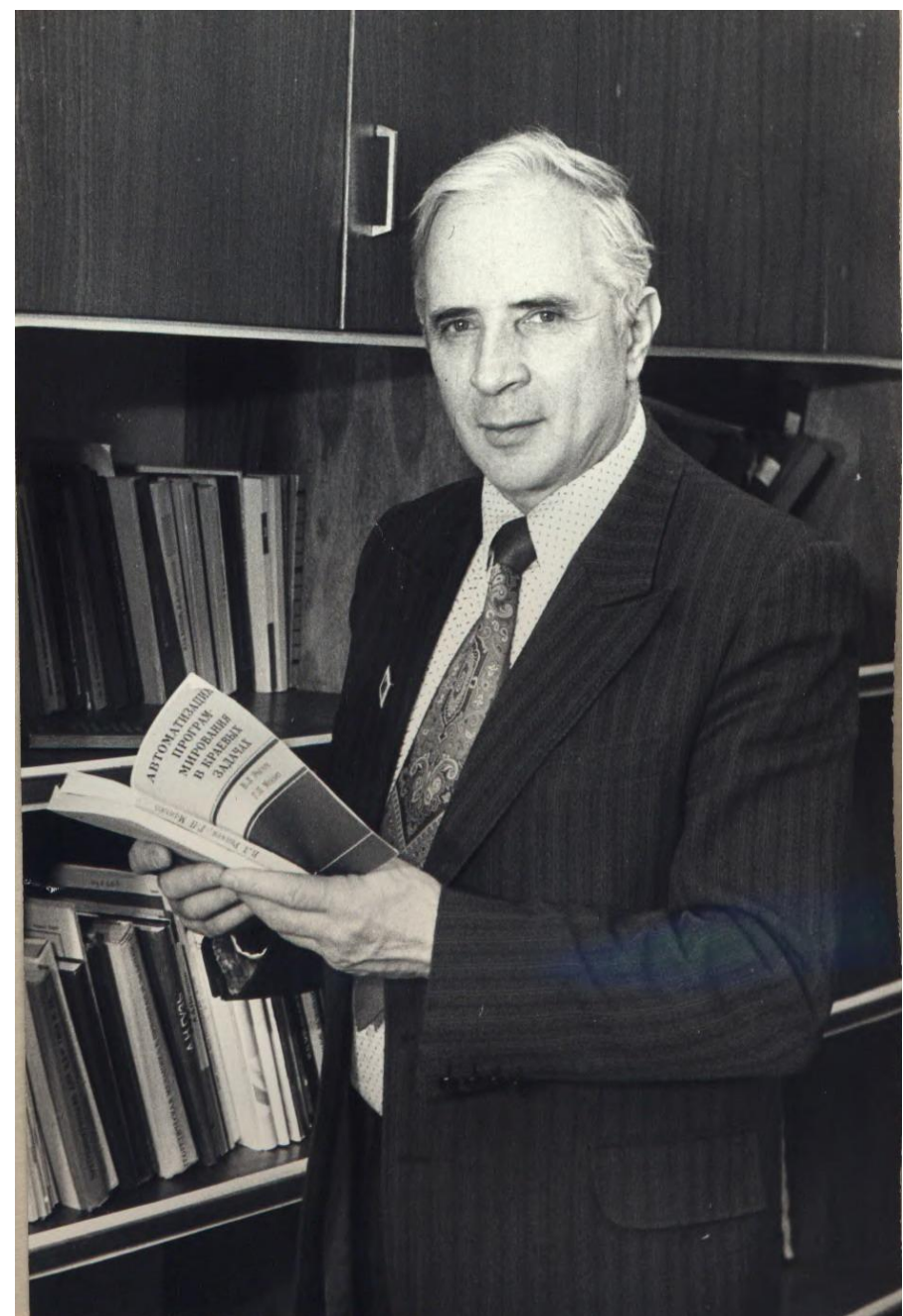
$$\begin{cases} Au = f & \text{в области } \Omega \\ L_i u \Big|_{\partial\Omega_i} = \varphi_i, & i = 1, \dots, N \end{cases}$$



Два разнородных вида информации: **аналитическая** (A и L_i , f и φ_i) и **геометрическая** (форма Ω и $\partial\Omega_i$).

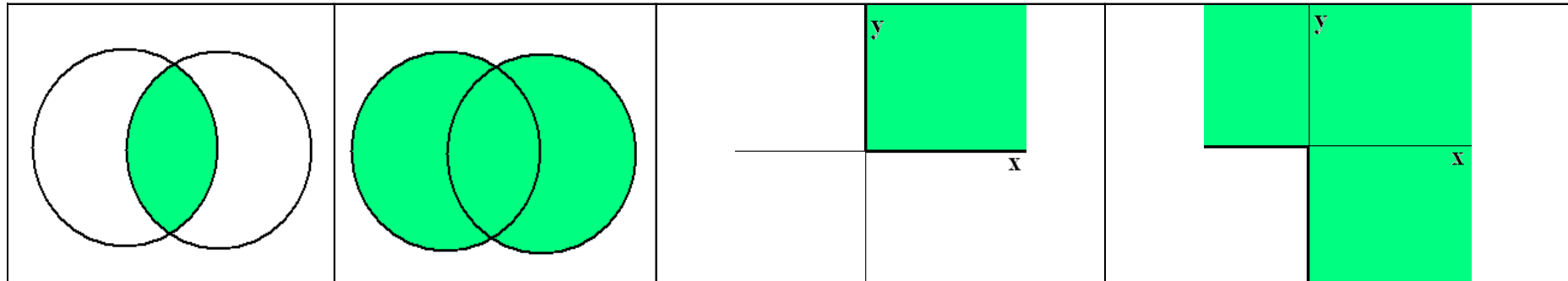


Рене Декарт (1596 – 1650)



В.Л. Рвачев (1926 – 2005)

R-функции



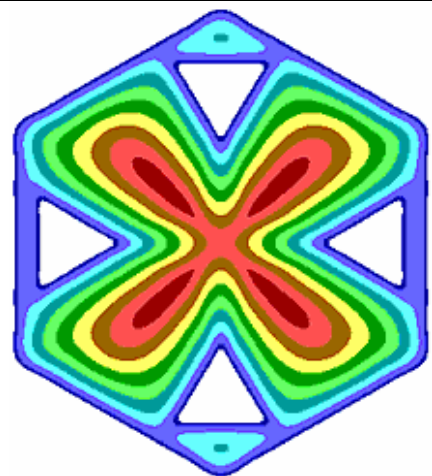
Σ_1	Σ_2	$\Sigma_1 \cap \Sigma_2$	$\Sigma_1 \cup \Sigma_2$	$x \wedge_0 y = x + y - \sqrt{x^2 + y^2}$	$x \vee_0 y = x + y + \sqrt{x^2 + y^2}$	x	y
1	1	1	1	+	+	+	+
1	0	0	1	—	+	+	—
0	1	0	1	—	+	—	+
0	0	0	0	—	—	—	—

Определение. Пусть $S_2(t) \equiv (t \geq 0), t \in R^1$, — предикат, принимающий значения 1 при $t \geq 0$ и 0

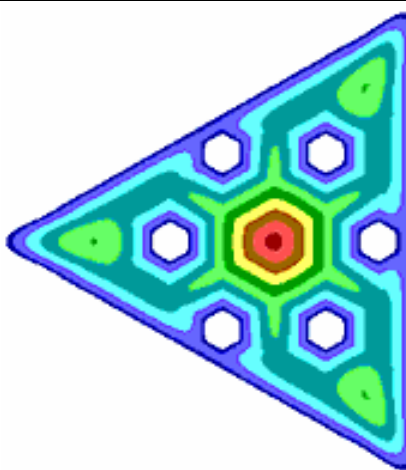
при $t < 0$. Тогда функция $f(x_1, \dots, x_m) : E^m \rightarrow E$ называется **R-функцией**, если существует такая булева функция $F(X_1, \dots, X_m)$, что $S_2(f(x_1, \dots, x_m)) \equiv F(S_2(x_1), \dots, S_2(x_m))$.

Функция $f(x_1, \dots, x_m)$ называется **R-функцией**, если булев знак этой функции равен булевой функции булевых знаков аргументов x_1, \dots, x_m .

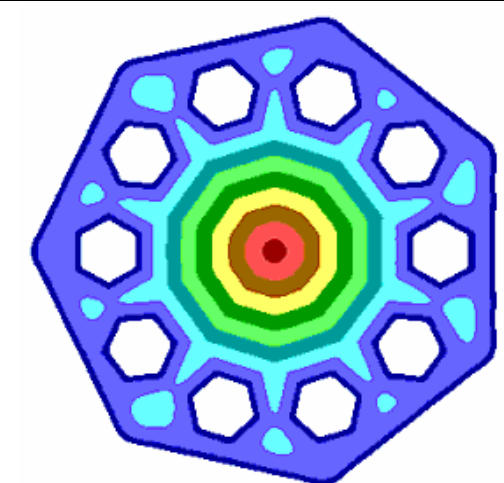
Геометрические объекты — правильные многоугольники



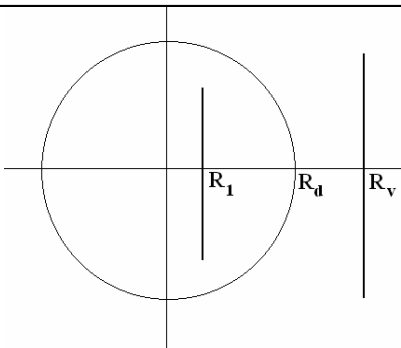
$$n_b = 6, \ n_o = 3, \ n_d = 4.$$



$$n_b = 3, \ n_o = 6, \ n_d = 6.$$



$$n_b = 7, \ n_o = 6, \ n_d = 10.$$



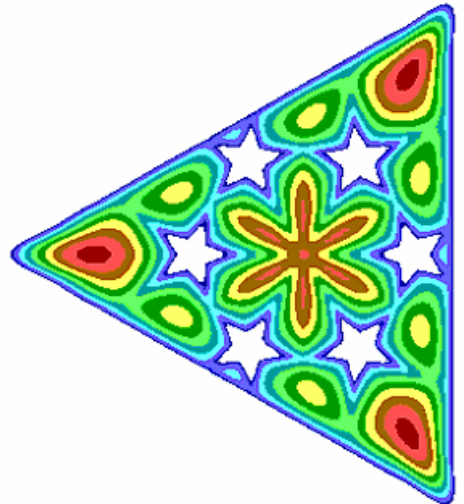
$$\sigma_1 \equiv x - R_1; \ \sigma_2 \equiv R_v - x; \omega_t \equiv r_1 \cos \mu_1 - R_1 = 0, \ r_1 = \sqrt{x_s^2 + y_s^2}; \begin{cases} x_s = r \cos \mu_d - R_d; \\ y_s = r \sin \mu_d \end{cases}$$

$$\mu_d = \frac{8}{n_d \pi} \sum_k (-1)^{k+1} \frac{\sin \left[(2k-1) \frac{n_d \theta}{2} \right]}{(2k-1)^2}; \mu_1 = \frac{8}{n_o \pi} \sum_k (-1)^{k+1} \frac{\sin \left[(2k-1) \frac{n_o \theta_1}{2} \right]}{(2k-1)^2}; \theta_1 = \frac{1 - \text{sign}(x_s)}{2} \pi + \arctg \frac{y_s}{x_s}$$

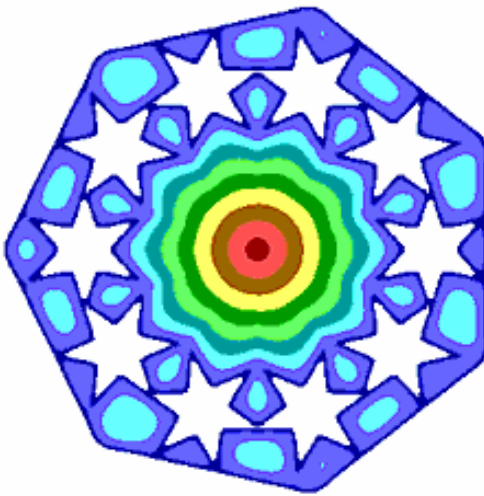
$$\omega_v \equiv R_v - r \cos \mu_v = 0, \ \mu_v = \frac{8}{n_b \pi} \sum_k (-1)^{k+1} \frac{\sin \left[(2k-1) \frac{n_b \theta}{2} \right]}{(2k-1)^2}, \ r = \sqrt{x^2 + y^2}. \boxed{\Omega \equiv \omega_v \wedge_0 \omega_t = 0} —$$

шестипараметрическое $(n_o, n_b, n_d, R_1, R_d, R_v)$ семейство кривых.

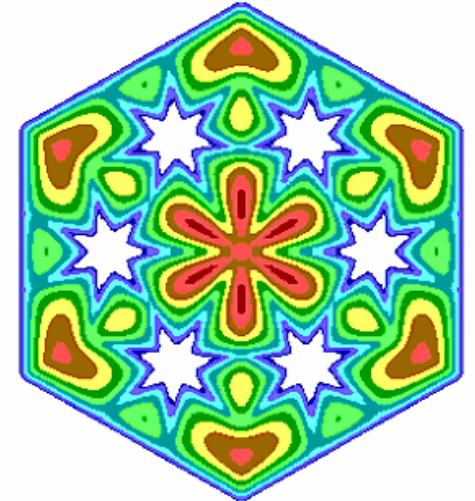
Геометрические объекты — правильные многоугольники



$$n_b = 3, \ n_o = 5, \ n_d = 6.$$



$$n_b = 7, \ n_o = 6, \ n_d = 10.$$

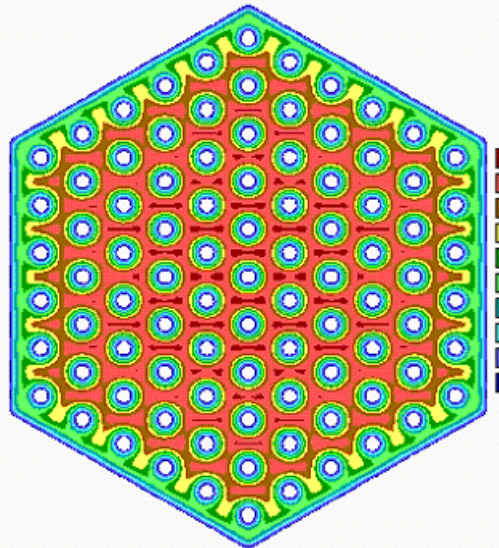


$$n_b = 6, \ n_o = 7, \ n_d = 6.$$

	$\sigma_1 \equiv -y + k(x - R_1) \geq 0, \quad \sigma_2 \equiv y - k(-x + R_1) \geq 0, \quad k = \frac{10 \sin(\pi/n_o)}{10 \cos(\pi/n_o) - 4}, \quad \sigma_3 \equiv R_v - x \geq 0$ $\omega_t \equiv (-r_1 \sin \mu_1 + k(r_1 \cos \mu_1 - R_1)) \wedge_0 (r_1 \sin \mu_1 - k(-r_1 \cos \mu_1 + R_1)) = 0, \quad r_1 = \sqrt{x_s^2 + y_s^2};$ $\begin{cases} x_s = r \cos \mu_d - R_d \\ y_s = r \sin \mu_d \end{cases}; \quad \mu_d = \frac{8}{n_d \pi} \sum_k (-1)^{k+1} \frac{\sin[(2k-1)\frac{n_d \theta}{2}]}{(2k-1)^2}; \quad \mu_1 = \frac{8}{n_o \pi} \sum_k (-1)^{k+1} \frac{\sin[(2k-1)\frac{n_o \theta_1}{2}]}{(2k-1)^2};$ $\theta_1 = \frac{1 - sign(x_s)}{2} \pi + arctg \frac{y_s}{x_s}; \quad \omega_v \equiv R_v - r \cos \mu_v = 0, \text{ где } \mu_v = \frac{8}{n_b \pi} \sum_k (-1)^{k+1} \frac{\sin[(2k-1)\frac{n_b \theta}{2}]}{(2k-1)^2}, \quad r = \sqrt{x^2 + y^2}.$ <p style="border: 1px solid black; padding: 5px;">$\omega \equiv \omega_v \wedge_0 \omega_t = 0$ — шестипараметрическое $(n_o, n_b, n_d, R_1, R_d, R_v)$ семейство кривых.</p>
--	---

Геометрические объекты, обладающие симметрией

Поперечный разрез топливной кассеты



.48433E+00
.43070E+00
.37707E+00
.32344E+00
.26981E+00
.21618E+00
.16255E+00
.10892E+00
.55289E-01
.16596E-02

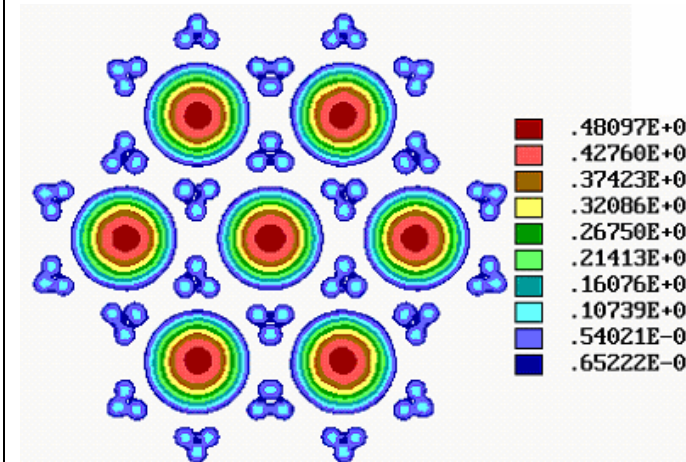
$$\omega \equiv f_b \wedge_0 (f_1 \vee_0 f_2) = 0$$

$$f_b = r_k - x_1 \geq 0$$

$$f_1 = R^2 - \mu_x^2 - \mu_y^2 \geq 0$$

$$f_2 = R^2 - \mu_{x1}^2 - \mu_{y1}^2 \geq 0$$

Кристаллическая структура редкоземельных металлоорганических соединений, используемых при хранении водорода



$$\omega \equiv f_1 \vee_0 f_2 = 0$$

$$x_1 = r \cos \mu_1; \quad \mu_1 = \frac{8}{n_0 \pi} \sum_k (-1)^{k+1} \frac{\sin \left[(2k-1) \frac{n_0 \theta}{2} \right]}{(2k-1)^2}.$$

$$\mu_x = \frac{4h_x}{\pi^2} \sum_k (-1)^{k+1} \frac{\sin \left[(2k-1) \frac{\pi x}{h_x} \right]}{(2k-1)^2}, \quad \mu_y = \frac{4h_y}{\pi^2} \sum_k (-1)^{k+1} \frac{\sin \left[(2k-1) \frac{\pi x}{h_y} \right]}{(2k-1)^2},$$

$$\mu_{x1} = \frac{4h_x}{\pi^2} \sum_k (-1)^{k+1} \frac{\sin \left[(2k-1) \pi (x - h_x/2) \right]}{(2k-1)^2}, \quad \mu_{y1} = \frac{4h_y}{\pi^2} \sum_k (-1)^{k+1} \frac{\sin \left[(2k-1) \pi (y - h_y/2) \right]}{(2k-1)^2}.$$

$$f_1 = (r_1^2 - x^2 - y^2 - z^2) \vee_0 (r_1^2 - x_1^2 - y_1^2 - z^2) \geq 0, \quad \begin{cases} x_1 = \rho \cos \mu_1 - r_{k1}, \\ y_1 = \rho \sin \mu_1 \end{cases}$$

$$\mu_1 = \frac{8}{n_0 \pi} \sum_k (-1)^{k+1} \frac{\sin \left[(2k-1) \frac{n_0 \theta}{2} \right]}{(2k-1)^2}, \quad \mu_2 = \frac{8}{n_0 \pi} \sum_k (-1)^{k+1} \frac{\sin \left[(2k-1) n_0 (\theta_1 - \frac{\pi}{2}) \right]}{(2k-1)^2}$$

$$f_2 = \left(r_2^2 - \left(x_2 - 2r_2 \cos \frac{\pi}{6} \right)^2 - y_2^2 - z^2 \right) \vee_0 \left(r_2^2 - x_2^2 - (y_2 + r_2)^2 - z^2 \right) \vee_0$$

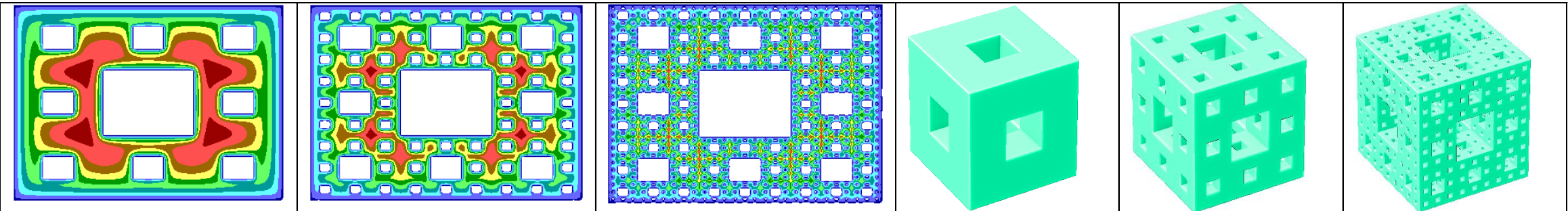
$$\left(r_2^2 - x_2^2 - (y_2 - r_2)^2 - z^2 \right) \geq 0,$$

$$\begin{cases} x_2 = \rho_1 \cos \mu_2 - r_{k2}, \\ y_2 = \rho_1 \sin \mu_2 \end{cases}, \quad \begin{cases} \rho_1 = \sqrt{x_1^2 + y_1^2} \\ \theta_1 = \operatorname{arctg} \frac{y_1}{x_1} \end{cases}$$

R-функции в фрактальной геометрии

Ковер Серпинского. $\omega_0 = f_1 \wedge_0 f_2 \geq 0, \omega_1(x, y) = \frac{\overline{\omega_0(3x, 3y)}}{3} \geq 0, \omega_k(x, y) = \frac{\omega_{k-1}(3\mu_{hx}, 3\mu_{hy})}{3} \geq 0 (k = 2, 3, \dots), f_1 = \frac{a^2 - x^2}{2a} \geq 0, f_2 = \frac{b^2 - y^2}{2b} \geq 0,$

$$\mu_{hx} = \frac{h_x}{\pi} \arcsin\left(\sin \frac{\pi x}{h_x}\right), \quad \mu_{hy} = \frac{h_y}{\pi} \arcsin\left(\sin \frac{\pi y}{h_y}\right), \quad h_x = \frac{2a}{3}, \quad h_y = \frac{2b}{3}. \quad [\omega_0(x, y) \wedge_0 \omega_1(x, y) \wedge_0 \omega_2(x, y) \wedge_0 \dots \wedge_0 \omega_k(x, y) \geq 0].$$



Ковер Серпинского.

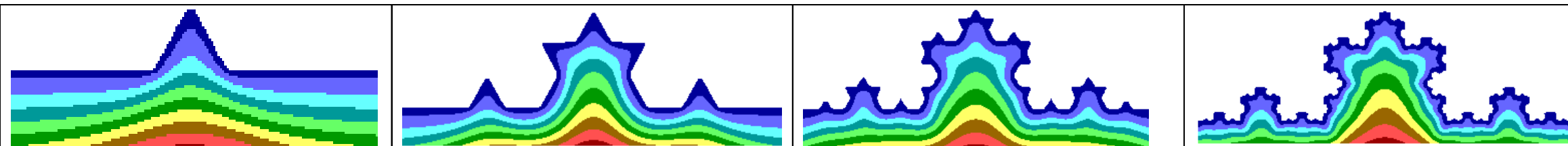
Губка Менгера — трехмерный аналог ковра Серпинского.

Кривая Коха. $\omega_0 = -y \geq 0; \omega_1 = \omega_0 \vee_0 (f_1 \wedge_0 f_2) \geq 0; f_1 = \frac{1}{2}(x\sqrt{3} - y + a\sqrt{3}) \geq 0; f_2 = \frac{1}{2}(-x\sqrt{3} - y + a\sqrt{3}) \geq 0;$

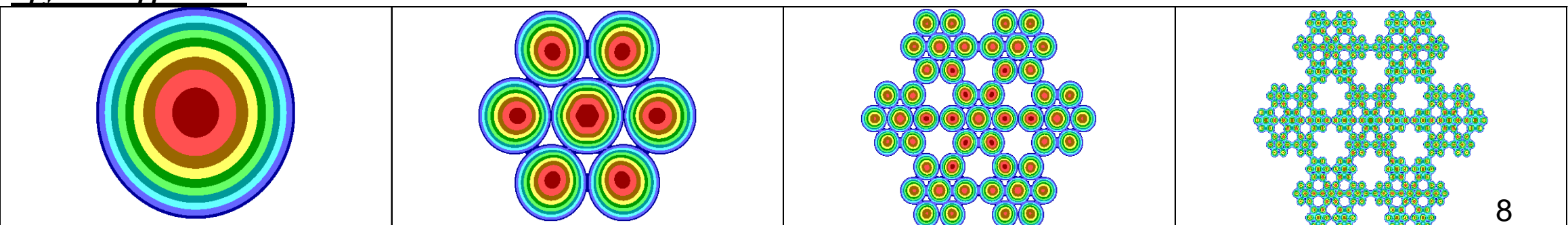
$$\omega_{21} = \omega_1(3(x+2a), 3y) \geq 0; \omega_{22} = \omega_1\left(3\left((x+a/2)0.5 + \left(y - \frac{a\sqrt{3}}{2}\right)\sqrt{3}/2\right), 3\left(-(x+a/2)\sqrt{3}/2 + \left(y - \frac{a\sqrt{3}}{2}\right)0.5\right)\right) \geq 0;$$

$$\omega_2 = (\omega_{21}(x, y) \vee_0 \omega_{22}(x, y)) \wedge_0 (\omega_{21}(-x, y) \vee_0 \omega_{22}(-x, y)) \geq 0; \quad \omega_{k1} = \omega_{k-1}(3(x+2a), 3y) \geq 0;$$

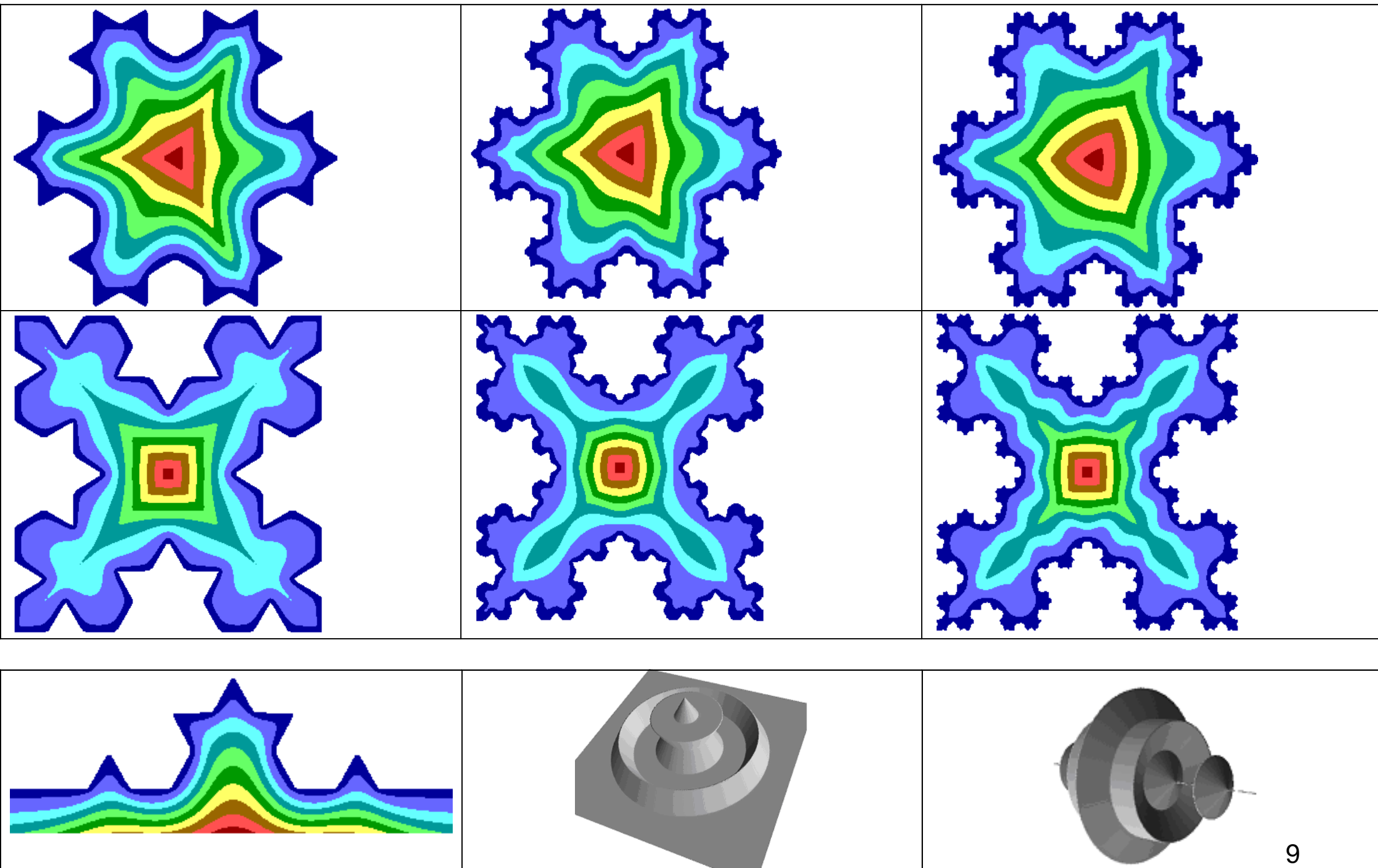
$$\omega_{k2} = \omega_{k-1}\left(3\left(\frac{x+a/2}{2} + \left(y - \frac{a\sqrt{3}}{2}\right)\frac{\sqrt{3}}{2}\right), 3\left(-(x+a/2)\frac{\sqrt{3}}{2} + \left(y - \frac{a\sqrt{3}}{2}\right)\frac{1}{2}\right)\right) \geq 0; \quad \omega_k = (\omega_{k1}(x, y) \vee_0 \omega_{k2}(x, y)) \wedge_0 (\omega_{k1}(-x, y) \vee_0 \omega_{k2}(-x, y)) \geq 0 \quad (k = 3, 4, \dots)$$



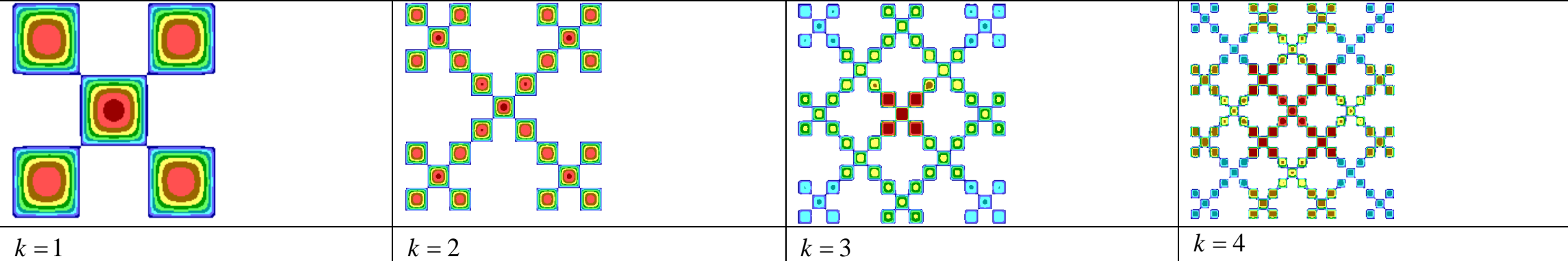
Круговой фрактал



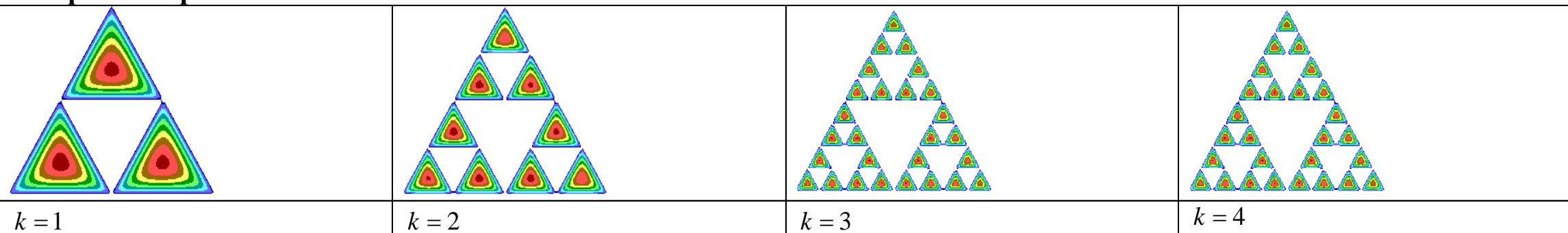
Остров и крест Коха. $\omega S_k = \omega_k (r \sin \mu, r \cos \mu - R) \geq 0$, где $\mu(n\theta) = \frac{2}{n} \arcsin \left(\sin \frac{n\theta}{2} \right)$, $r = \sqrt{x^2 + y^2}$, $\theta = \operatorname{arctg} \frac{y}{x}$.



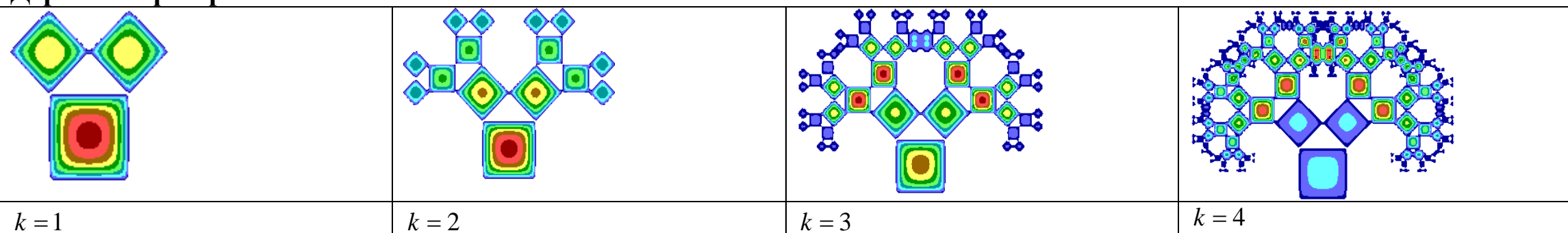
Фрактал «коробка»



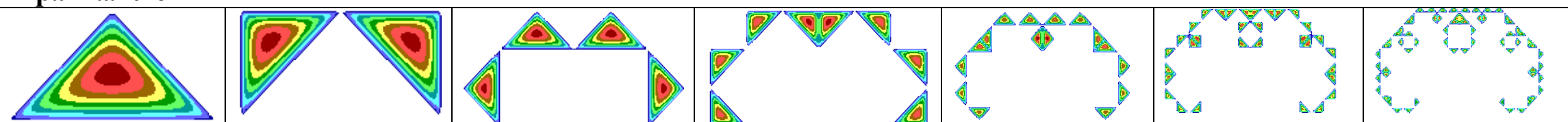
Салфетка Серпинского



Дерево Пифагора



Фрактал Леви



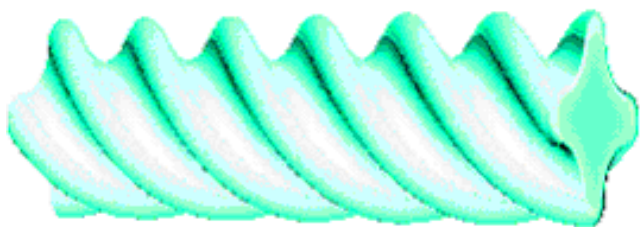
Скрученные цилиндры

$$\begin{cases} x \Rightarrow x \cos \varphi(z) + y \sin \varphi(z) \\ y \Rightarrow y \cos \varphi(z) - x \sin \varphi(z) \end{cases}$$

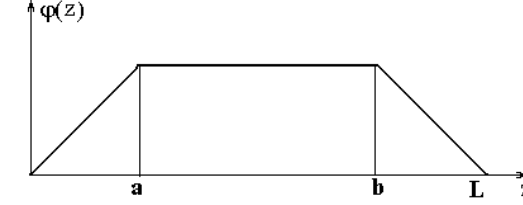
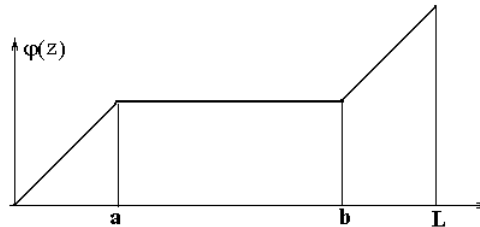
$$\varphi(z) = \alpha z$$

$$\omega(\hat{x}, \hat{y})$$

$$\frac{\omega(\hat{x}, \hat{y})}{\sqrt{1 + \alpha^2 \left(\hat{y} \frac{\partial \omega}{\partial \hat{x}} - \hat{x} \frac{\partial \omega}{\partial \hat{y}} \right)^2}} = 0$$



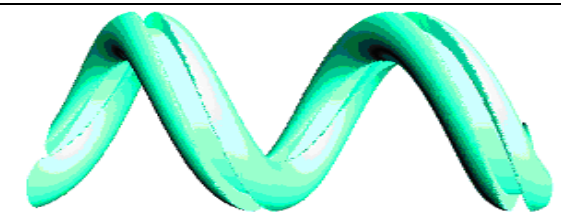
$$\varphi(z) = \alpha z$$



Бесконечные змеевики.

$$\begin{cases} x \Rightarrow \sqrt{x^2 + y^2} - c \\ y \Rightarrow z - \alpha \operatorname{arctg} \frac{y}{x} \end{cases}$$

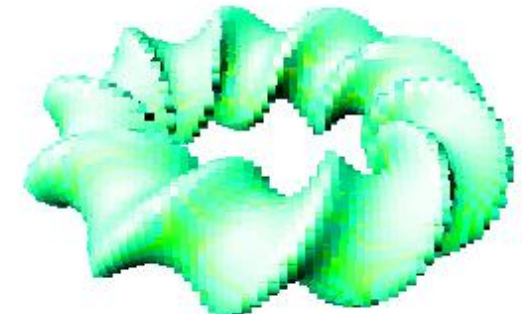
$$\frac{\omega(r, \hat{z})}{\sqrt{1 + \frac{\alpha^2}{r^2} \left(\frac{\partial \omega}{\partial \hat{z}} \right)^2}} = 0$$



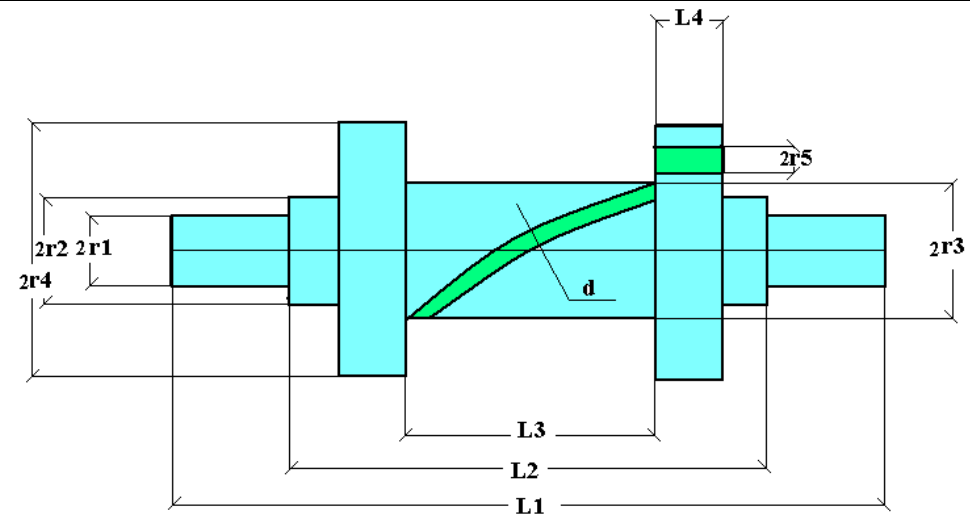
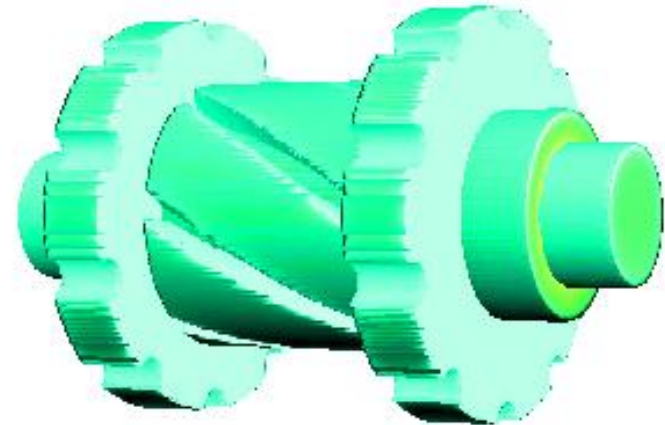
Скрученные торы.

$$\begin{cases} x \Leftarrow (r - R) \cos \frac{R\varphi}{h} + z \sin \frac{R\varphi}{h}; \\ y \Leftarrow -(r - R) \sin \frac{R\varphi}{h} + z \cos \frac{R\varphi}{h}; \end{cases}$$

$$\omega \left((r - R) \cos \frac{R\varphi}{h} + z \sin \frac{R\varphi}{h}, -(r - R) \sin \frac{R\varphi}{h} + z \cos \frac{R\varphi}{h} \right) = 0$$



Ступенчатый вал с двумя зубчатыми шкивами.



$$L_1 > L_2 > L_3 > L_4 \quad r_1 < r_2 < r_3 < r_4$$

$$W = ((f1 \vee_0 f2 \vee_0 Ws) \wedge_0 f4) \vee_0 Wb$$

no — количество транслируемых выемок на шайбе; $no1$ — количество транслируемых закрученных с параметром $\alpha = 2\pi z/\lambda$ выемок на внутреннем цилиндре. Таким образом, имеем **15-параметрическое семейство**.

$f1 = ((r_1^2 - x^2 - y^2)/2r_1) \wedge_0 ((L_1^2/4 - z^2)/L_1)$ — длинный цилиндр; $f2 = ((r_2^2 - x^2 - y^2)/2r_2) \wedge_0 (L_2^2/4 - z^2)/L_2$ — средний цилиндр

$f3 = (r_4^2 - x^2 - y^2)/2r_4$ — цилиндр для шайб; $Ws = (f3 \wedge_0 ((3+z)(-2-z))) \vee_0 (f3 \wedge_0 ((3-z)(z-2)))$ две шайбы

$f4 = -(0.09 - x_1^2 - y_1^2)/0.6$ транслируемые выточки на шайбах; $\begin{cases} x_1 = \rho \cos \mu - r_4 \\ y_1 = \rho \sin \mu \end{cases}$ — замена для транслирования с no ;

$$\rho = \sqrt{x^2 + y^2}; \quad \theta = \arctan \frac{y}{x}; \quad \mu = \frac{8\pi}{no} \left(\sin \frac{no\theta}{2} - \frac{1}{9} \sin \frac{3no\theta}{2} + \frac{1}{25} \sin \frac{5no\theta}{2} - \frac{1}{49} \sin \frac{7no\theta}{2} + \dots \right)$$

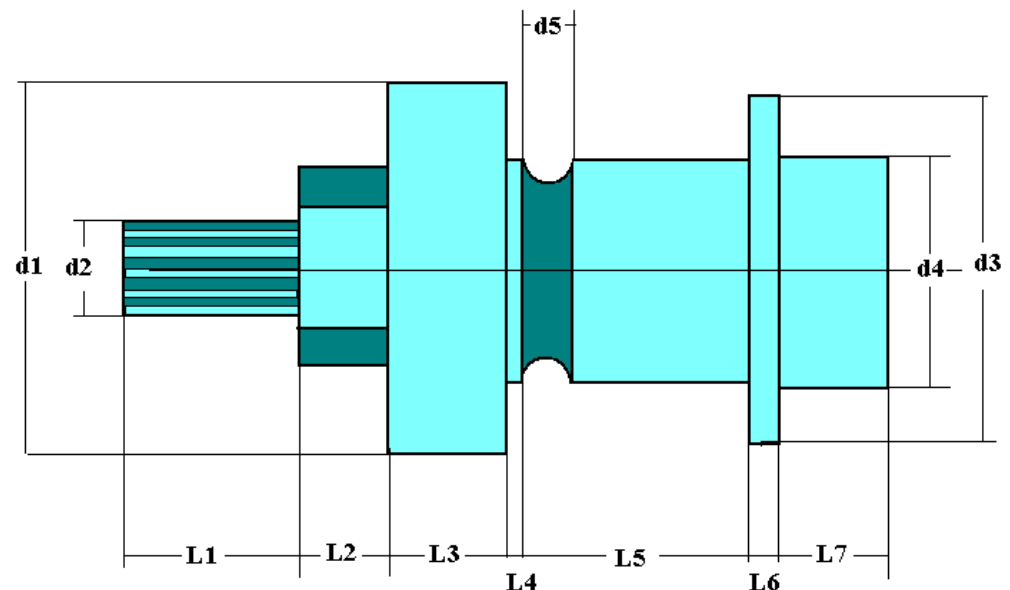
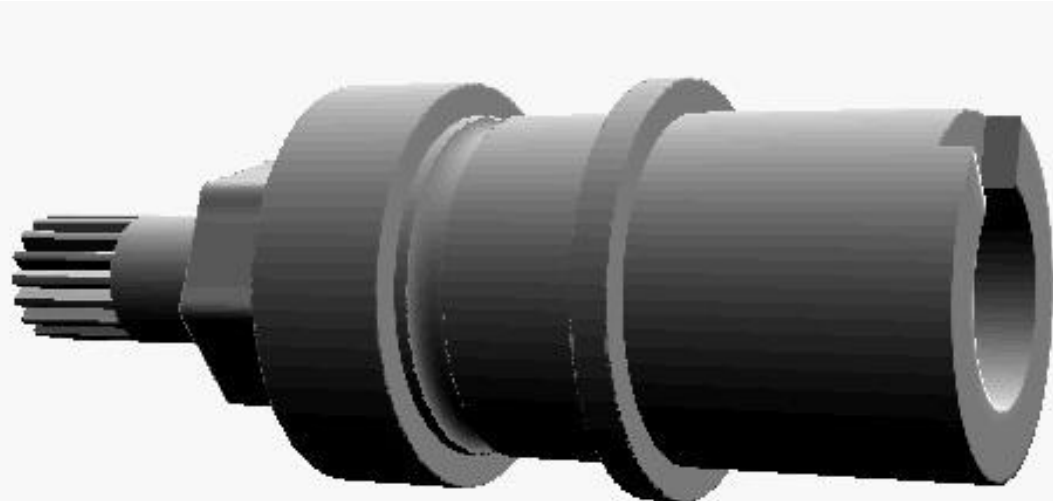
$Wb = ((r_3^2 - x^2 - y^2)/2r_3) \wedge_0 ((L_3^2/4 - z^2)/L_3) \wedge_0 ((xt_1^2 + yt_1^2 - r_b^2))$ цилиндр между шайбами с транслируемыми закрученными выточками

$\begin{cases} x_{11} = \rho_1 \cos \mu_1 - r_3 \\ y_{11} = \rho_1 \sin \mu_1 \end{cases}$ — замена для транслирования с $no1$.

$$\rho_1 = \sqrt{xx^2 + yy^2}; \quad \theta_1 = \arctan \frac{yy}{xx}; \quad \alpha t_1 = \theta_1 - \mu_1; \quad \mu_1 = \frac{8\pi}{no1} \left(\sin \frac{no1\theta_1}{2} - \frac{1}{9} \sin \frac{3no1\theta_1}{2} + \frac{1}{25} \sin \frac{5no1\theta_1}{2} - \frac{1}{49} \sin \frac{7no1\theta_1}{2} + \dots \right)$$

$\begin{cases} xx = x \cos \alpha + y \sin \alpha \\ yy = -x \sin \alpha + y \cos \alpha \end{cases}$ — замена для закрутки

ПОВОРОТНЫЙ КЛАПАН



$$NO=16; NO1=6; \quad \begin{cases} \rho = \sqrt{x^2 + y^2} \\ \theta = arctg \frac{y}{x} \end{cases}; \quad FF = \frac{N0 \cdot \theta}{2}; \quad MU = \frac{8}{\pi N0} \left(\sin FF - \frac{1}{9} \sin 3FF + \frac{1}{25} \sin 5FF - \frac{1}{49} \sin 7FF + \dots \right)$$

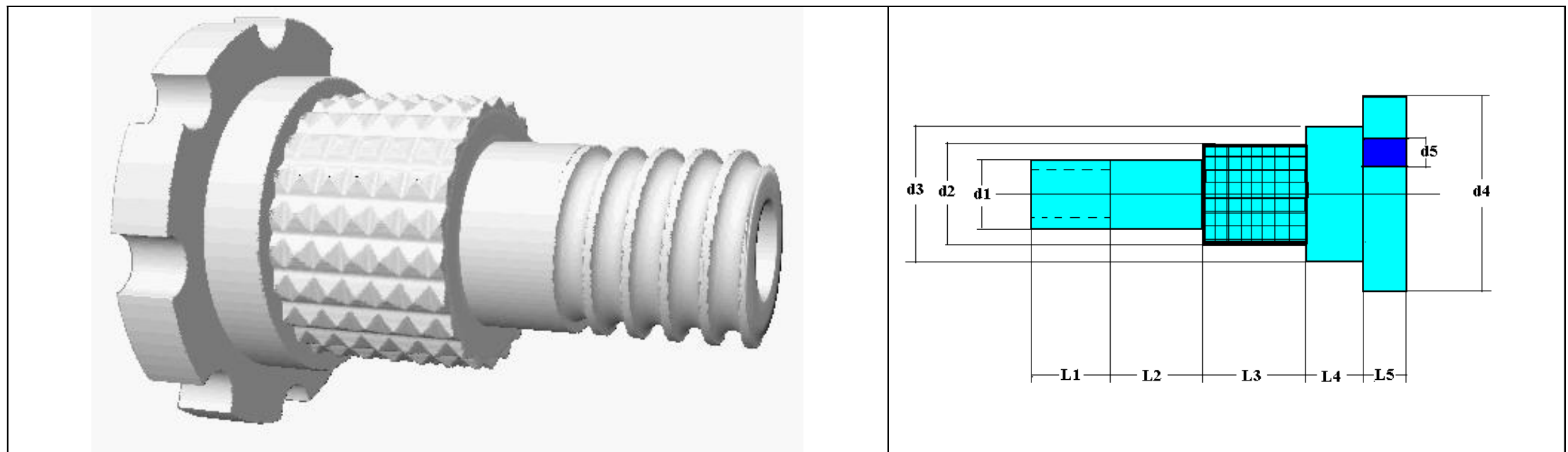
$$\begin{cases} X1 = \rho \cos MU - 0.7 \\ Y1 = \rho \sin MU \end{cases}; \quad FF1 = \frac{N01 \cdot \theta}{2}; \quad MU1 = \frac{8}{\pi N01} \left(\sin FF1 - \frac{1}{9} \sin 3FF1 + \frac{1}{25} \sin 5FF1 - \frac{1}{49} \sin 7FF1 + \dots \right)$$

$$\begin{cases} X11 = \rho \cos MU1 - 2 \cos \pi/6 \\ Y11 = \rho \sin MU1 \end{cases}; \quad w_1 = (1 - \rho^2) \wedge_0 (8 + z); \quad w_2 = (4 - \rho^2) \wedge_0 ((4 + z)(-z - 2)); \\ w_3 = (9 - \rho^2) \wedge_0 ((2 + z)(-z)); \quad w_4 = (9 - \rho^2) \wedge_0 ((3.5 - z)(z - 3)); \quad w_5 = (6.25 - \rho^2) \wedge_0 ((8 - z)z); \quad w_6 = (2.25 - \rho^2) \wedge_0 (z - 7);$$

$$w_7 = (\rho - 2.5)^2 + (z - 0.5)^2 - 0.09; \quad w_8 = - \left(\left(\frac{X1}{2} - Y1 \right) \wedge_0 \left(\frac{X1}{2} + Y1 \right) \right) \wedge_0 (-6 - z); \quad w_9 = -X11; \quad w_{10} = \left(\left(\frac{x}{2} - y \right) \wedge_0 \left(\frac{x}{2} + y \right) \right) \wedge_0 (z - 7.5)$$

$$W = (((((w_1 \vee_0 (w_2 \wedge_0 w_9)) \vee_0 w_3 \vee_0 w_4 \vee_0 w_5) \wedge_0 w_6) \wedge_0 w_7) \wedge_0 w_8) \wedge_0 w_{10})$$

ВИНТ



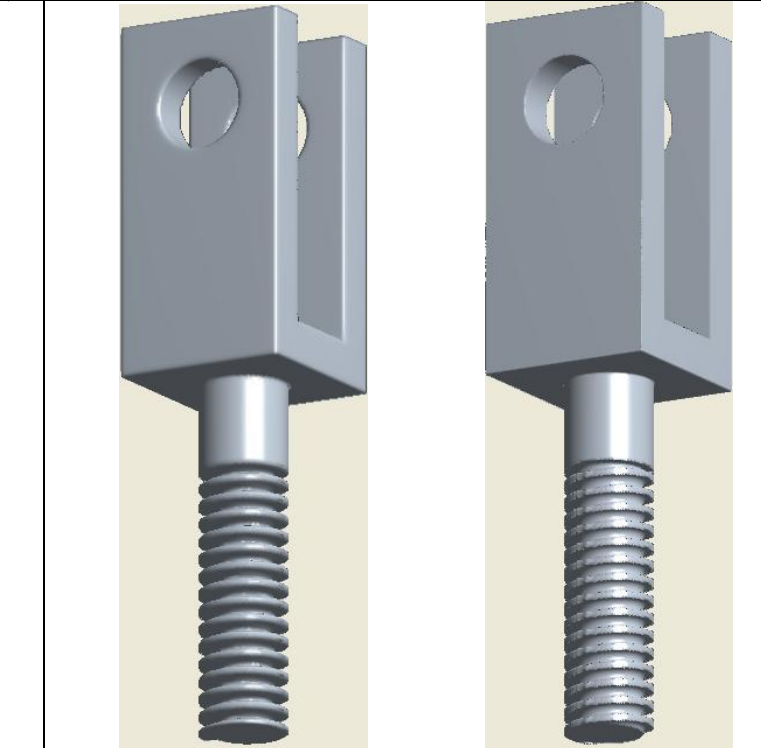
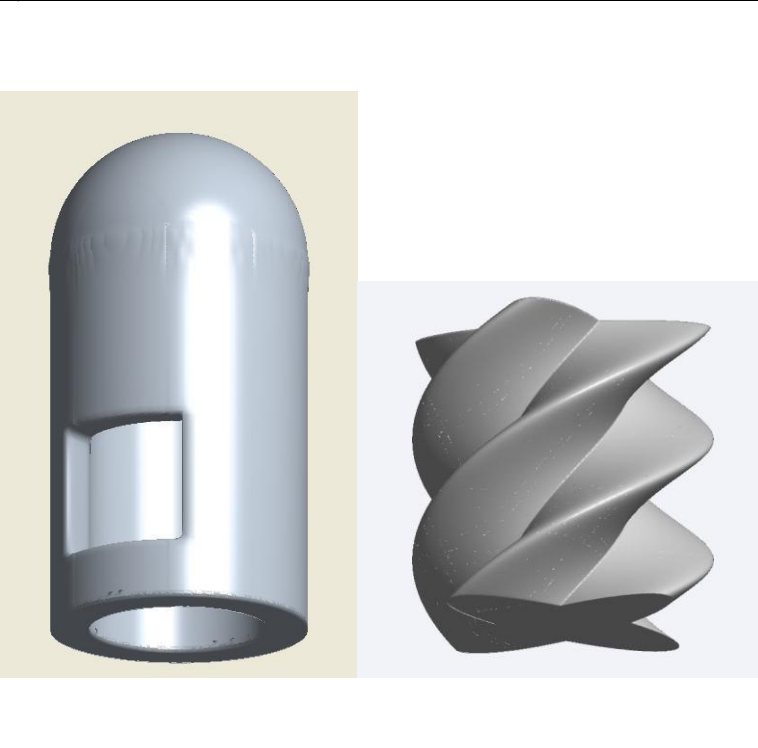
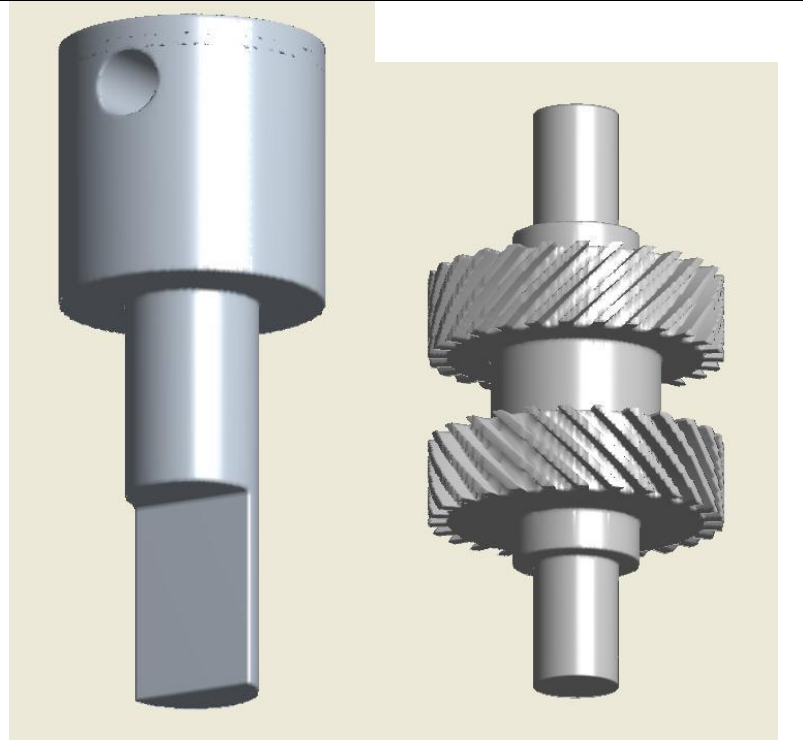
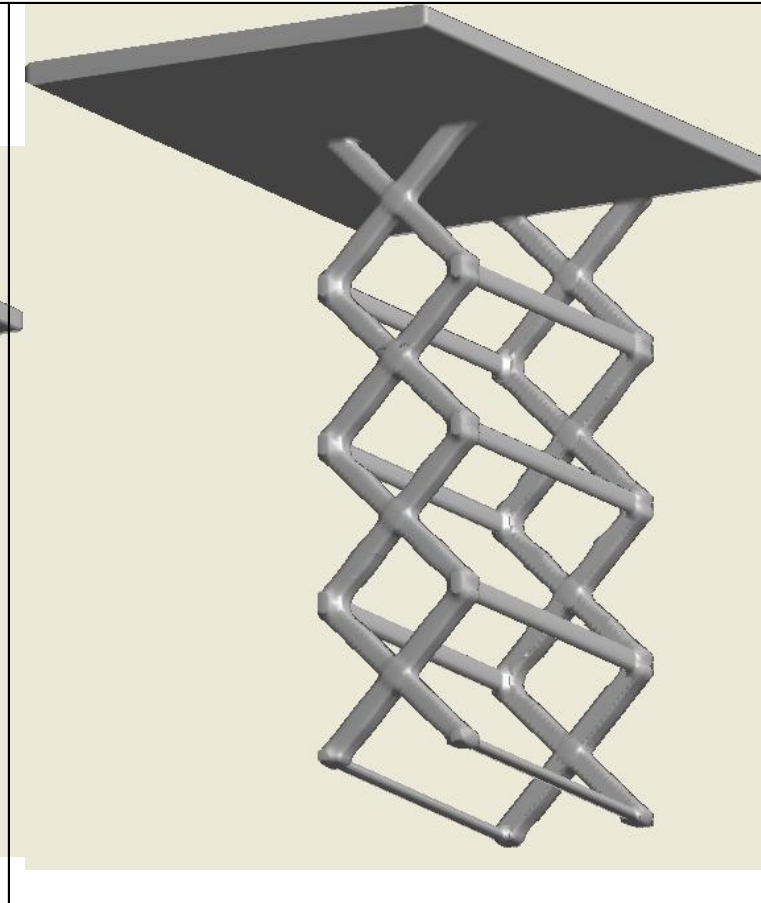
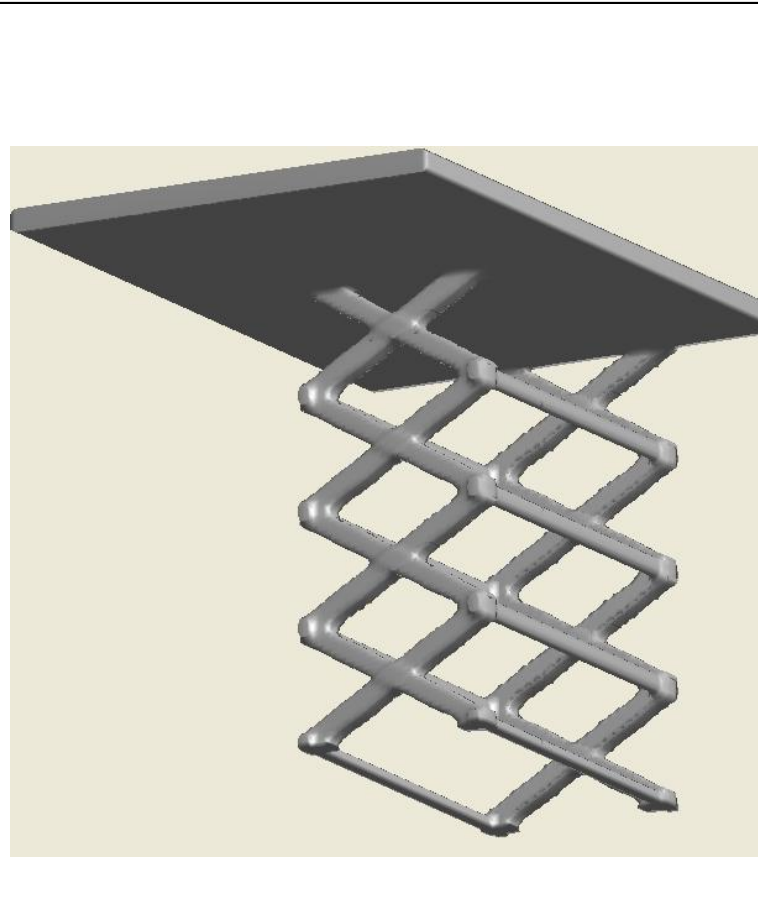
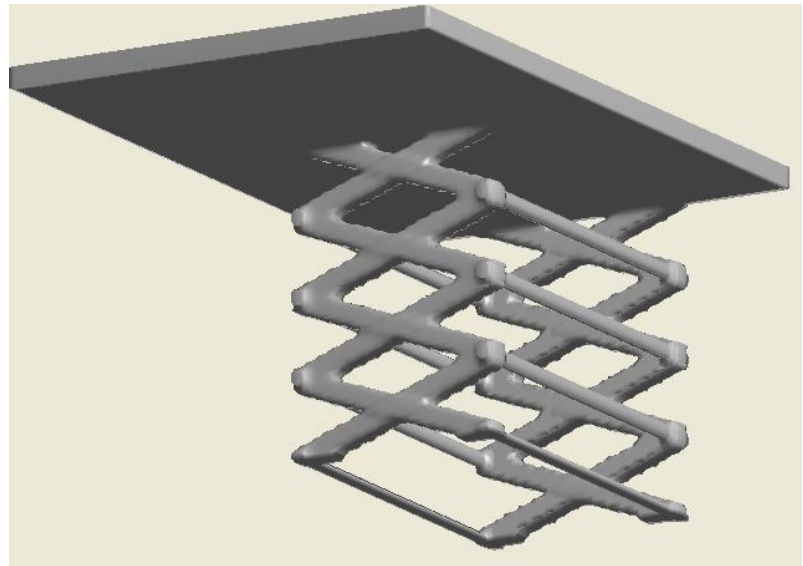
$x=7, y=7, z=12; \ PI=3.141593; NO=8; NO2=22; H=1.2;$

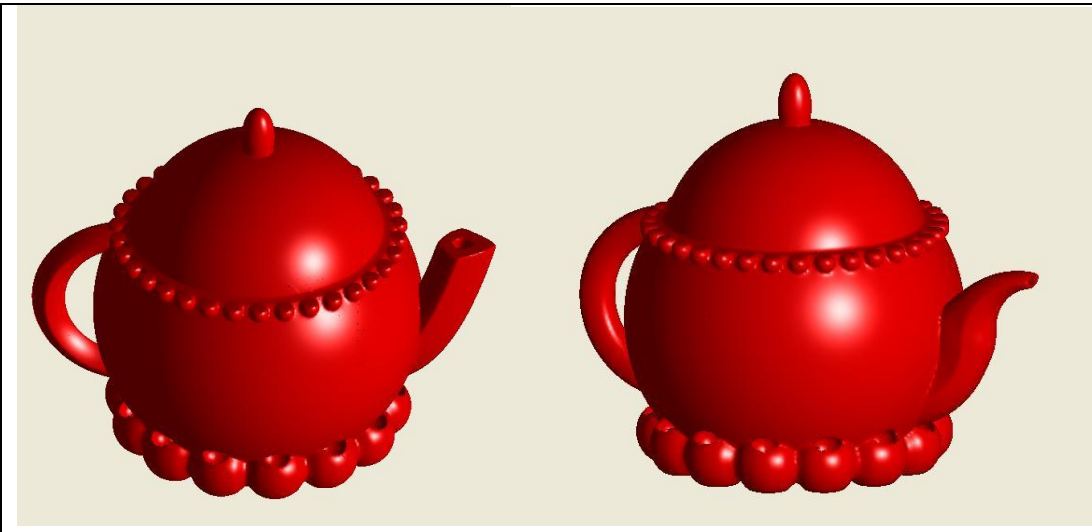
$$\text{резба;} \quad \theta = \arctg \frac{y}{x}; \quad \rho = \sqrt{x^2 + y^2}; \quad ZZ = z - \frac{H * FI}{2\pi}; \quad FFF = \frac{\pi ZZ}{H}; \quad MUU = \frac{4H}{\pi^2} \left(\sin FFF - \frac{1}{9} \sin 3FFF + \frac{1}{25} \sin 5FFF - \frac{1}{49} \sin 7FFF + \dots \right)$$

$$\begin{aligned} \text{ручка;} \quad FF = \theta no / 2; \quad MU = \frac{8}{\pi no} \left(\sin FF - \frac{1}{9} \sin 3FF + \frac{1}{25} \sin 5FF - \frac{1}{49} \sin 7FF + \dots \right); \quad & \begin{cases} X1 = \rho \cos MU - 7 \\ Y1 = \rho \sin MU \end{cases} \\ \text{чолм;} \quad FFK = \theta no2 / 2; \quad MUK = \frac{8}{\pi no2} \left(\sin FFK - \frac{1}{9} \sin 3FFK + \frac{1}{25} \sin 5FFK - \frac{1}{49} \sin 7FFK + \dots \right) - \text{трансляция по } \theta \\ \begin{cases} X11 = \rho \cos MUK - 4 \\ Y11 = \rho \sin MUK \end{cases} \quad FH = \pi z / 1.0; \quad MUC = \frac{4 * 1.0}{\pi^2} \left(\sin FH - \frac{1}{9} \sin 3FH + \frac{1}{25} \sin 5FH - \frac{1}{49} \sin 7FH + \dots \right) - \text{трансляция по } z \\ \begin{cases} ZC = -0.5MUC / (X11 - 0.5) \\ YC = -0.5Y11 / (X11 - 0.5) \end{cases} \quad \text{-- замена для пирамиды} \quad WC1 = ((0.625 - ZC^2) \wedge_0 (0.625 - YC^2) \wedge_0 X11) \wedge_0 (4.5^2 - x^2 - y^2) \\ WC = (WC1 \vee_0 (4.1^2 - x^2 - y^2)) \wedge (9 - z^2) - \text{полная насечка} \end{aligned}$$

$$\begin{aligned} f_1 = 9 - x^2 - y^2; \quad f_2 = (25 - x^2 - y^2) \wedge_0 (z - 3); \quad f_3 = (49 - x^2 - y^2) \wedge_0 (z - 5); \quad f_4 = 1 - x1^2 - y1^2 \quad f_5 = (0.25 - (\rho - 3)^2 - MUU^2) \wedge_0 (-6 - z) - \text{резьба} \\ f_6 = -2.25 + x^2 + y^2; \quad f_7 = (12 + z)(7 - z) \quad W = (((f_1 \wedge_0 \overline{f_5}) \vee_0 f_2 \vee_0 WC) \vee_0 (f_3 \wedge_0 \overline{f_4})) \wedge_0 f_6 \wedge_0 f_7 \end{aligned}$$

Ножничный подъёмник.





$$W = \{ (WC \vee_0 Wbantiki \vee_0 WN \vee_0 WRT) \wedge_0 (-W1) \} \vee_0 WK$$

Резервуар $W1 = \frac{1}{8}(16 - x^2 - y^2 - z^2); WW1 = |W1|;$

$$WC = (A + 0.5 - WW1) \wedge_0 \left(\frac{(3-z)(z+4.3)}{7.3} \right) \quad no=14 \quad A=0.7; no1=36$$

Крышка $WK = \left[\frac{1}{8}(16 - \rho^2 - (z-2)^2) \right] \vee_0 \left[1 - \frac{\rho^2}{0.25} - (z-6.5)^2 \right]; WK1 = |WK|;$

$$WK2 = A - WK1; \quad WKR = WK2 \wedge_0 (z-3)$$

Ручка $W2 = \frac{1}{5}(6.25 - (x+4)^2 - z^2); WR = \sqrt{y^2 \vee_0 W2^2}; [WRT = A + 0.3 - WR];$

Оформление

$$Wbantiki = (W5 \wedge_0 W6) \vee_0 W4$$

низ

$$W5 = \frac{1}{2}(1 - X1^2 - Y1^2 - (z + 3.5)^2); W6 = \frac{1}{1.2}(X2^2 + Y2^2 + (z + 3)^2 - 0.36); FF = \theta no / 2; MU = \frac{8}{\pi no} \left(\sin FF - \frac{1}{9} \sin 3FF + \frac{1}{25} \sin 5FF - \frac{1}{49} \sin 7FF + \dots \right);$$

$$\begin{cases} X1 = \rho \cos MU - 3.7 \\ Y1 = \rho \sin MU \end{cases} \quad \begin{cases} X2 = \rho \cos MU - 4 \\ Y2 = \rho \sin MU \end{cases} \quad \theta = \operatorname{arctg} \frac{y}{x}; \quad \rho = \sqrt{x^2 + y^2}$$

$$\text{вверх } W4 = \frac{1}{0.6}(0.09 - X11^2 - Y11^2 - (z - 2.8)^2); \quad \begin{cases} X11 = \rho \cos MU1 - 4.3 \\ Y11 = \rho \sin MU1 \end{cases} \quad FF1 = \theta no1 / 2; \quad MU1 = \frac{8}{\pi no1} \left(\sin FF1 - \frac{1}{9} \sin 3FF1 + \frac{1}{25} \sin 5FF1 - \frac{1}{49} \sin 7FF1 + \dots \right)$$

Носик (кубической параболой)

$$W3 = \left(z + 2 - \frac{(\rho - 2.1)^3}{15} \right) \left(1 + \frac{(\rho - 2.1)^4}{25} \right)^{0.5}; \quad WW3 = \sqrt{y^2 \vee_0 W3^2}; \quad WN1 = (A + 1 - WW3) \wedge_0 x; \quad WN2 = (0.6 - WW3) \wedge_0 x; \quad [WN = (WN1 \wedge_0 (-WN2)) \wedge_0 (2.8 - z)]$$

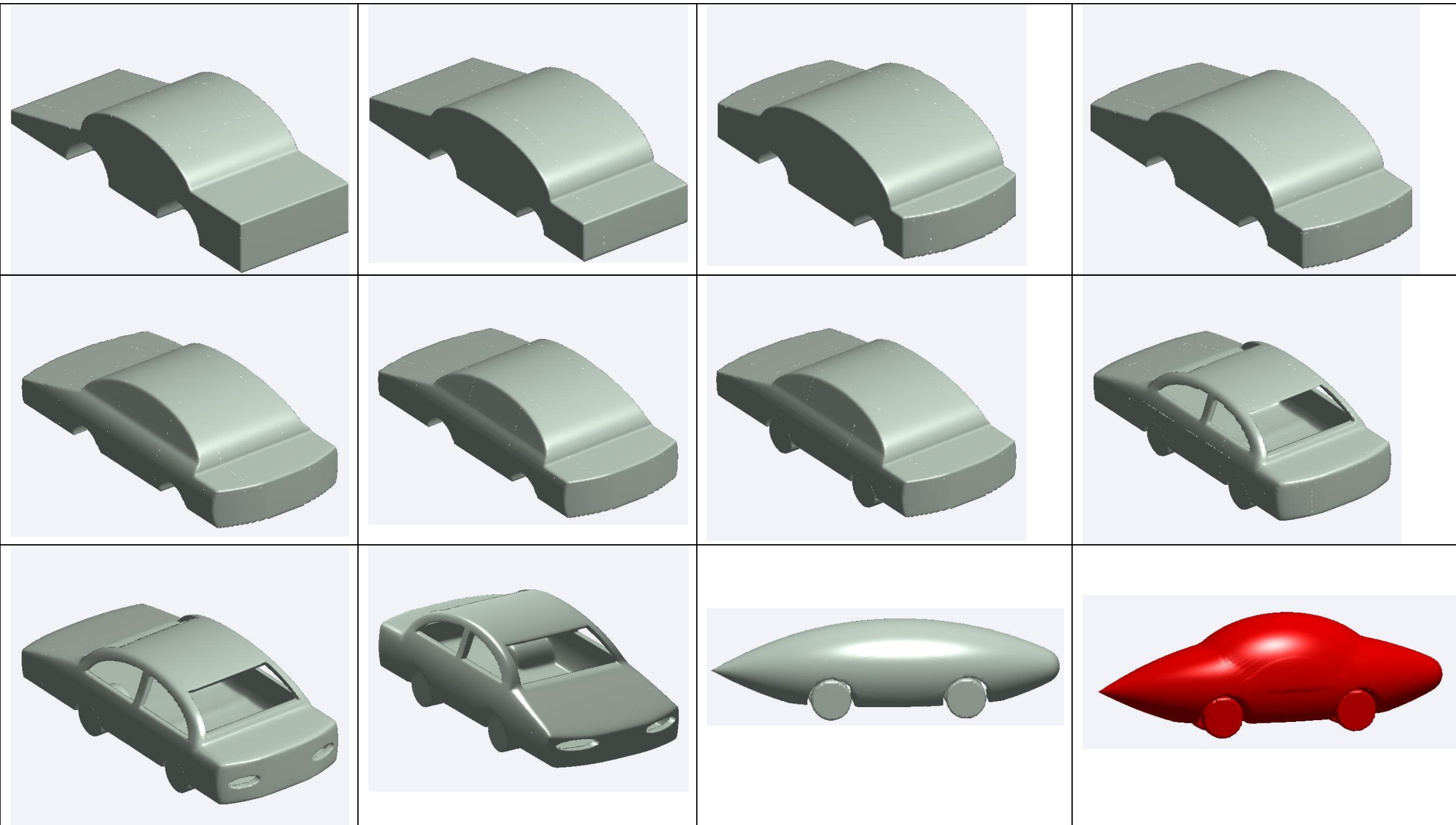
(двуумя круговыми цилиндрами)

$$xx = x - 3.8; \quad yy = z + 2; \quad F31 = \frac{1}{4}(4 - xx^2 - (yy - 2)^2); \quad Fo1 = \frac{1}{4}(4 - (xx - 2)^2 - yy^2); \quad F32 = \frac{1}{4}(4 - (xx - 4)^2 - (yy - 2)^2); \quad Fo2 = \frac{1}{4}(4 - (xx - 2)^2 - (yy - 4)^2)$$

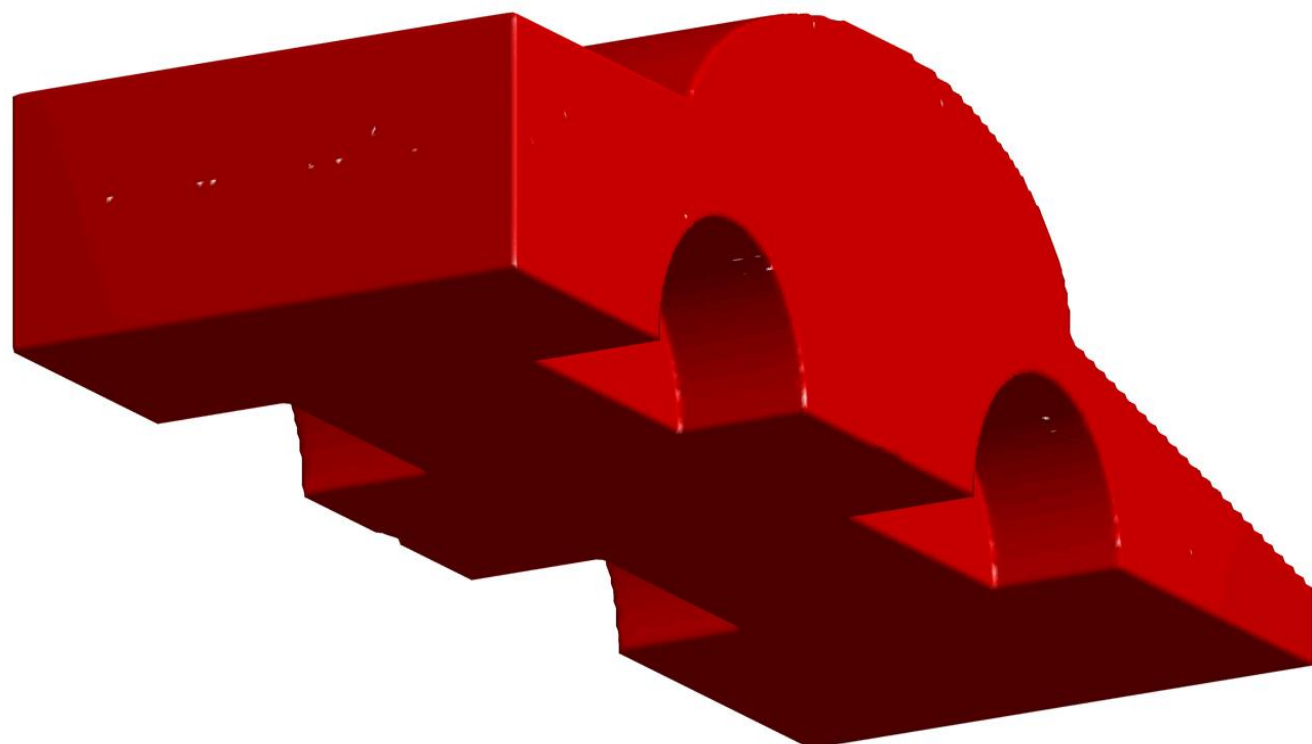
$$FF31 = \sqrt{\frac{1}{4}(\sqrt{F31^4 + Fo1^2} - Fo1)^2 + F31^2}; \quad FF32 = \sqrt{\frac{1}{4}(\sqrt{F32^4 + Fo2^2} - Fo2)^2 + F32^2}; \quad F3 = \sqrt{(FF31 \wedge_0 FF32) \vee_0 y^2} \quad \text{для утолщения носика и}$$

верстия применим формулу склейки. $WN1 = \frac{1.5(8-x) + 0.6(x-4)}{4-F3}; \quad WN2 = \frac{0.9(8-x) + 0.4(x-4)}{4-F3}; \quad [WN = (WN1 \wedge_0 (-WN2)) \wedge_0 (7.8 - x)]$

Построенная математическая модель поверхности автомобиля имеет 42 варьируемых параметра.



Процесс моделирования поверхности кузова



R-функции в математическом моделировании геометрических объектов в 3D по информации в 2D

Интерлокационные формулы Лагранжа

$\omega(x, y, z) = \frac{\sum_{i=1}^N \frac{\omega_i(x, y)}{ \omega_{si}(z) }}{\sum_{i=1}^N \frac{1}{ \omega_{si}(z) }}$	$\omega(x, y, z) = \frac{\sum_{i=1}^N \frac{\omega_i(x, y)}{\omega_{si}^2(z)}}{\sum_{i=1}^N \frac{1}{\omega_{si}^2(z)}}$	$\omega(x, y, z) = \frac{\sum_{i=1}^N \frac{\omega_i(x, y)}{\omega_{si}^4(z)}}{\sum_{i=1}^N \frac{1}{\omega_{si}^4(z)}}$	$\omega(x, y, z) = \frac{\sum_{i=1}^N \frac{\omega_i(x, y)}{\omega_{si}^6(z)}}{\sum_{i=1}^N \frac{1}{\omega_{si}^6(z)}}$

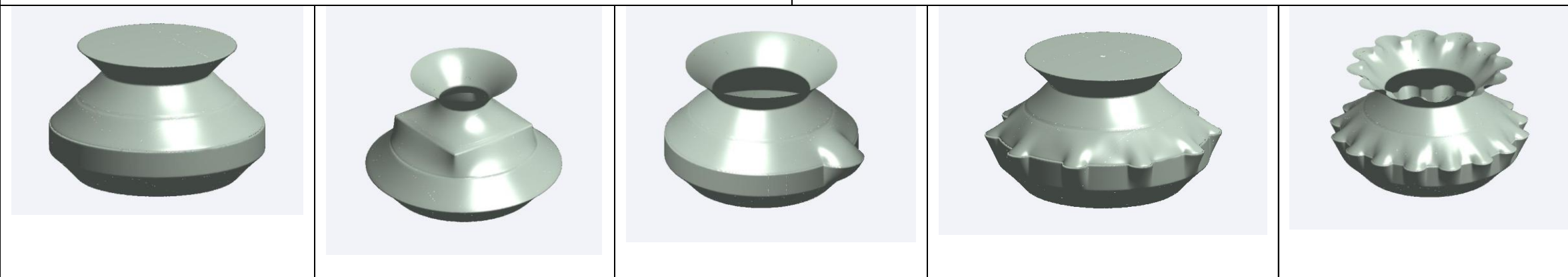
$$\omega = \sum_{i=1}^N \omega_i(x, y) h_i(z, z_{i-1}, z_i, z_{i+1}) + \prod_{i=1}^N (z - z_i) P(x, y, z)$$

$$h_i(z, z_{i-1}, z_i, z_{i+1}) = \left[\left[\frac{z - z_{i-1}}{z_i - z_{i-1}} \right] \wedge_1 \left[\frac{z - z_{i+1}}{z_i - z_{i+1}} \right] \right] \vee_1 0$$

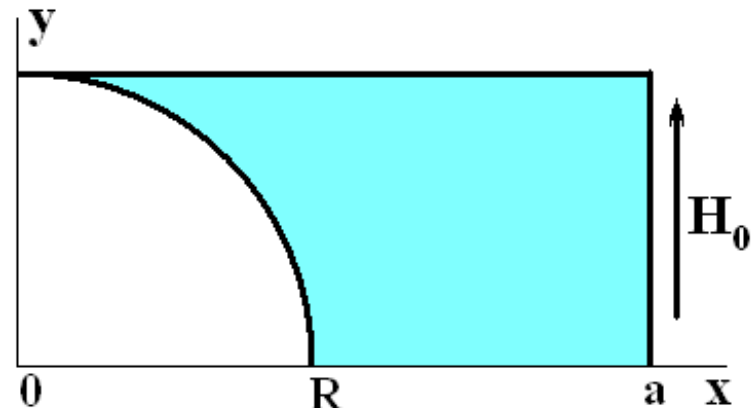
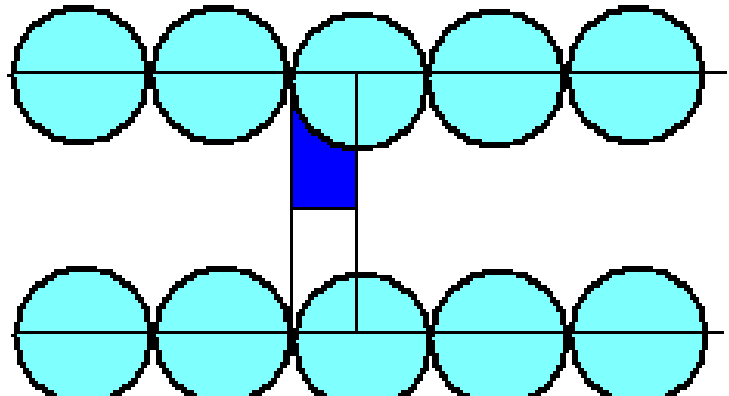
$$\omega_i(x, y) \geq 0, \quad i = 1, \dots, N,$$

$$\omega_{s1} \equiv z_1 - z \geq 0; \quad \omega_{s2} \equiv z_2 - z \geq 0; \dots \omega_{sN} \equiv z_N - z \geq 0.$$

$$f_i = \frac{\omega_i \omega_{si+1} - \omega_{i+1} \omega_{si}}{\omega_{si+1} - \omega_{si}} \wedge_0 \frac{\omega_{si+1} \bar{\omega}_{si}}{z_{i+1} - z_i} \geq 0, \quad (i = 1, \dots, N). \quad \omega = \bigcup_{i=1}^{N-1} f_i + \varepsilon \geq 0$$



Математическое моделирование физических полей в бланкете термоядерного реактора



Фрагменты канала

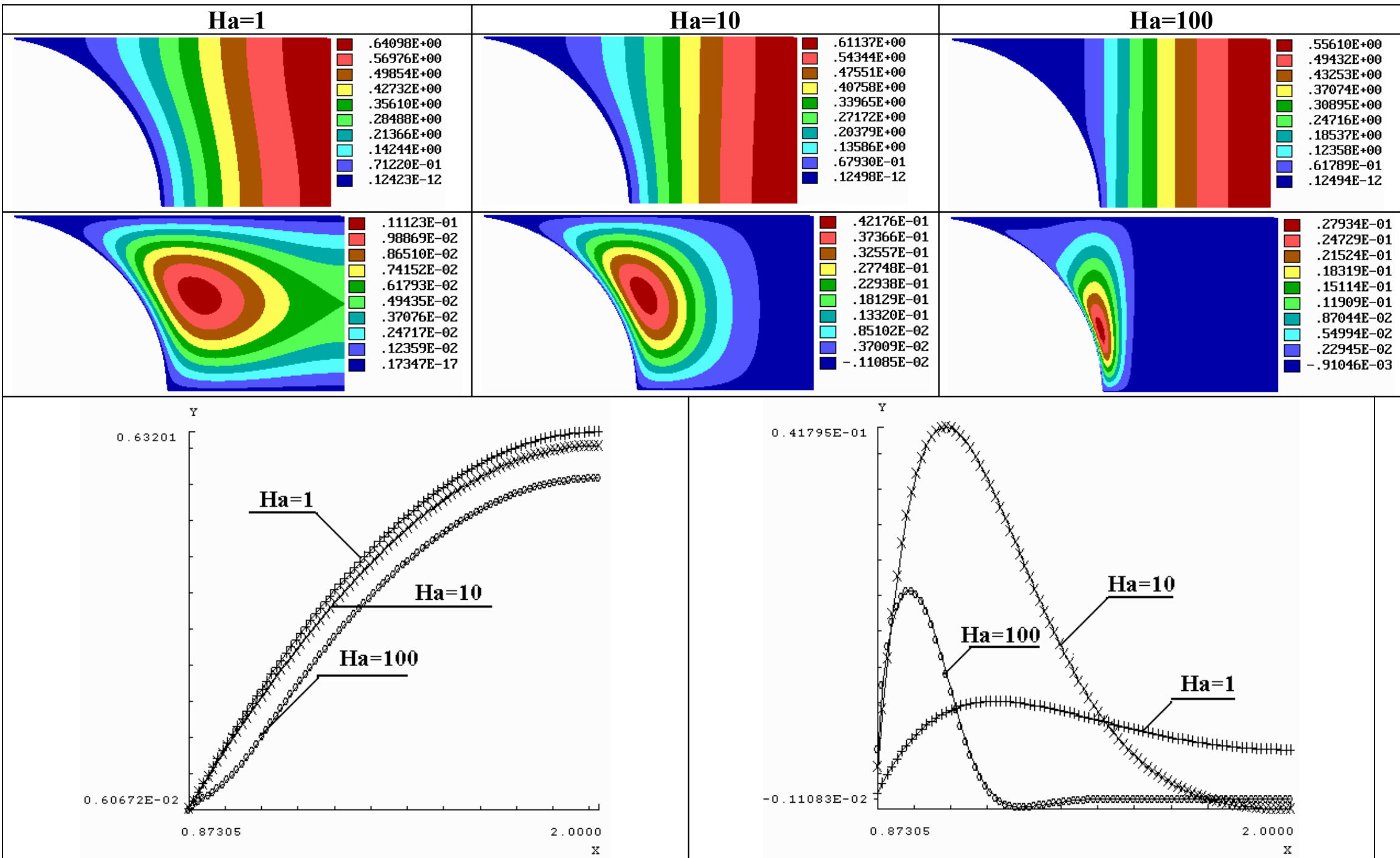
$$\begin{cases} \Delta V + Ha \frac{\partial H}{\partial y} = -1 \\ \Delta H + Ha \frac{\partial V}{\partial y} = 0 \end{cases}, \quad 1 \leq Ha \leq 100$$

с граничными условиями двух типов

$$V|_{\partial\Omega_1} = 0; \quad H|_{\partial\Omega_1, \partial\Omega_2, \partial\Omega_4} = 0, \quad V|_{\partial\Omega_1} = 0; \quad H|_{\partial\Omega_2, \partial\Omega_4} = 0,$$

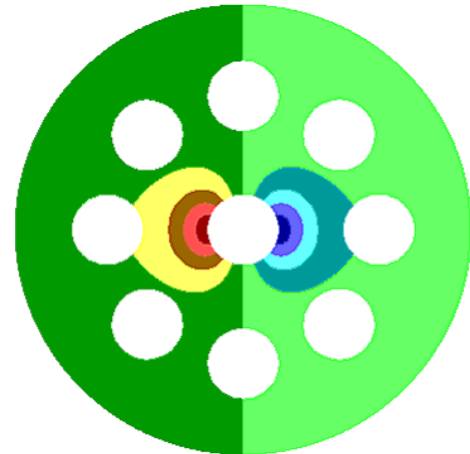
a) $\frac{\partial V}{\partial n}\Big|_{\partial\Omega_2, \partial\Omega_3, \partial\Omega_4} = 0, \quad \frac{\partial H}{\partial n}\Big|_{\partial\Omega_3} = 0.$ б) $\frac{\partial V}{\partial n}\Big|_{\partial\Omega_2, \partial\Omega_3, \partial\Omega_4} = 0, \quad \frac{\partial H}{\partial n}\Big|_{\partial\Omega_3} = 0, \quad \frac{\partial H}{\partial n} + hH\Big|_{\partial\Omega_1} = 0, \quad 10 \leq h \leq 100.$

Величина параметров a и R определялась из отношения площади ТВЭЛа к площади канала $\frac{S_{mb}}{S_k} = 40 - 50\%$, с целью выбора конструктивных параметров. Расчеты проводились для $R = 1$, $a = 2$ и $R = 1$, $a = 1.6$.



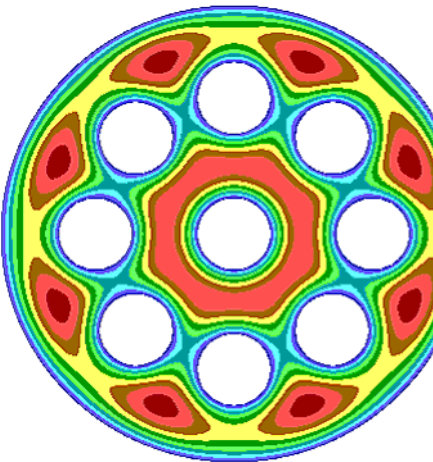
Распределение электрического потенциала при движении проводящей среды в магнитном поле (поля в решетках ТВЭЛов)

$$\Delta U = \operatorname{div}(\bar{V} \times \bar{B}); \frac{\partial U}{\partial n} \Big|_{\partial\Omega} = 0$$

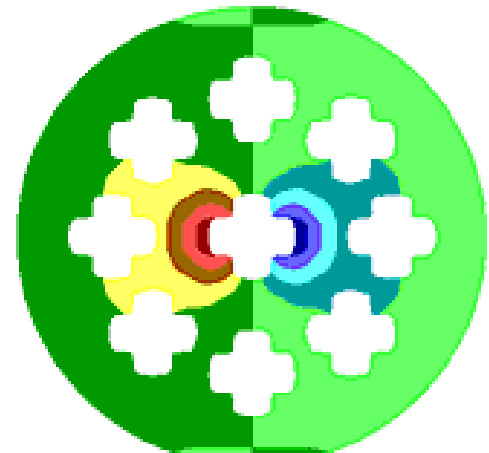


.76213E+01
.59277E+01
.42341E+01
.25404E+01
.84682E+00
-.84682E+00
-.25404E+01
-.42341E+01
-.59277E+01
-.76213E+01

$$\Delta V_z = -\frac{\nabla P}{\mu l}; V_z \Big|_{\partial\Omega} = 0$$

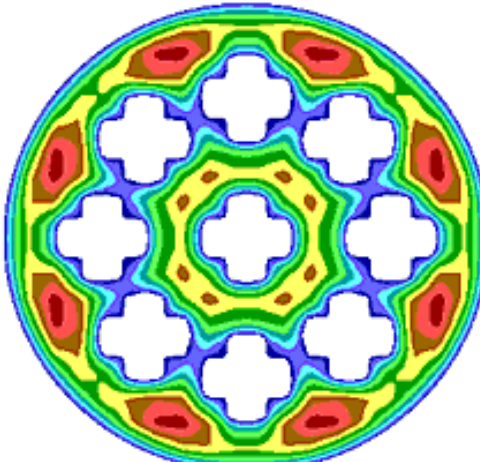
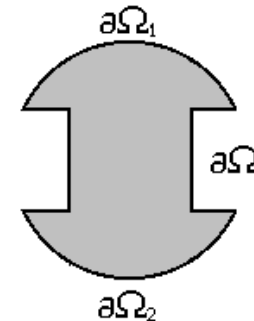


.14329E+02
.12738E+02
.11146E+02
.95548E+01
.79633E+01
.63719E+01
.47805E+01
.31891E+01
.15977E+01
.62494E-02

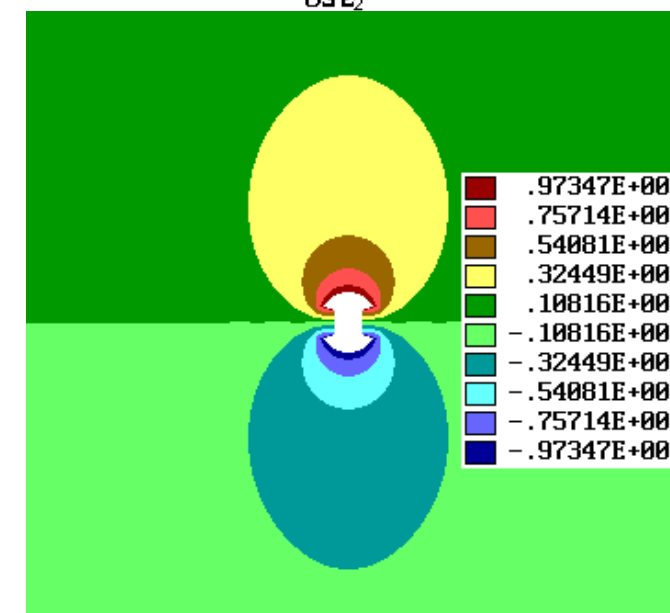


.41206E+01
.32111E+01
.22936E+01
.13762E+01
.45873E+00
-.45873E+00
-.13762E+01
-.22936E+01
-.32111E+01
-.41206E+01

$$\Delta\varphi_m = 0; \varphi_m \Big|_{\partial\Omega_1} = 1; \varphi_m \Big|_{\partial\Omega_2} = -1; \frac{\partial\varphi_m}{\partial n} \Big|_{\partial\Omega_3} = 0$$



.11646E+02
.10350E+02
.90600E+01
.77670E+01
.64740E+01
.51809E+01
.38879E+01
.25949E+01
.13019E+01
.88811E-02

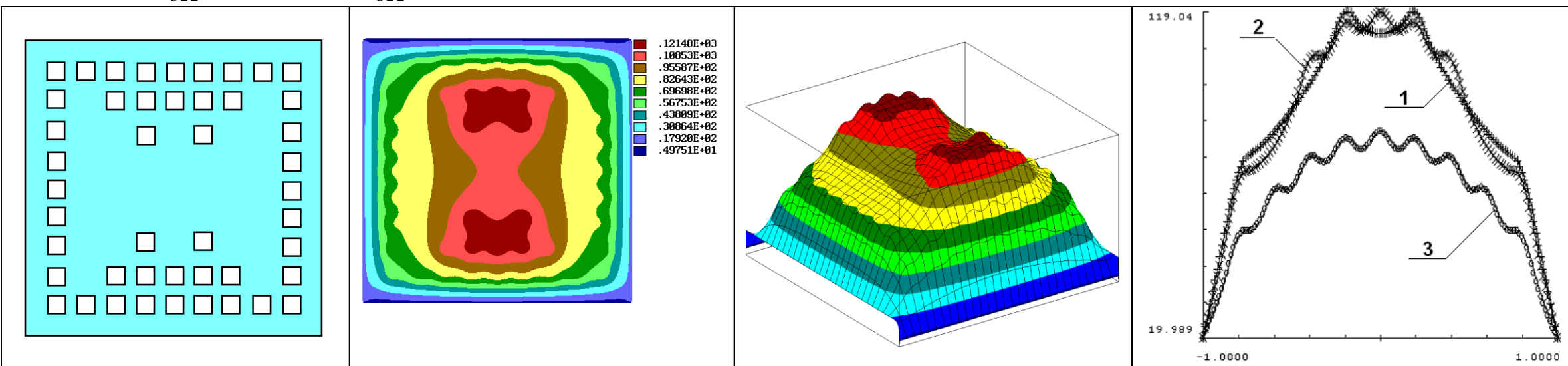


.97347E+00
.75714E+00
.54081E+00
.32449E+00
.10816E+00
-.10816E+00
-.32449E+00
-.54081E+00
-.75714E+00
-.97347E+00

Математическое и компьютерное моделирование тепловых режимов радиоэлектронной аппаратуры методом R-функций

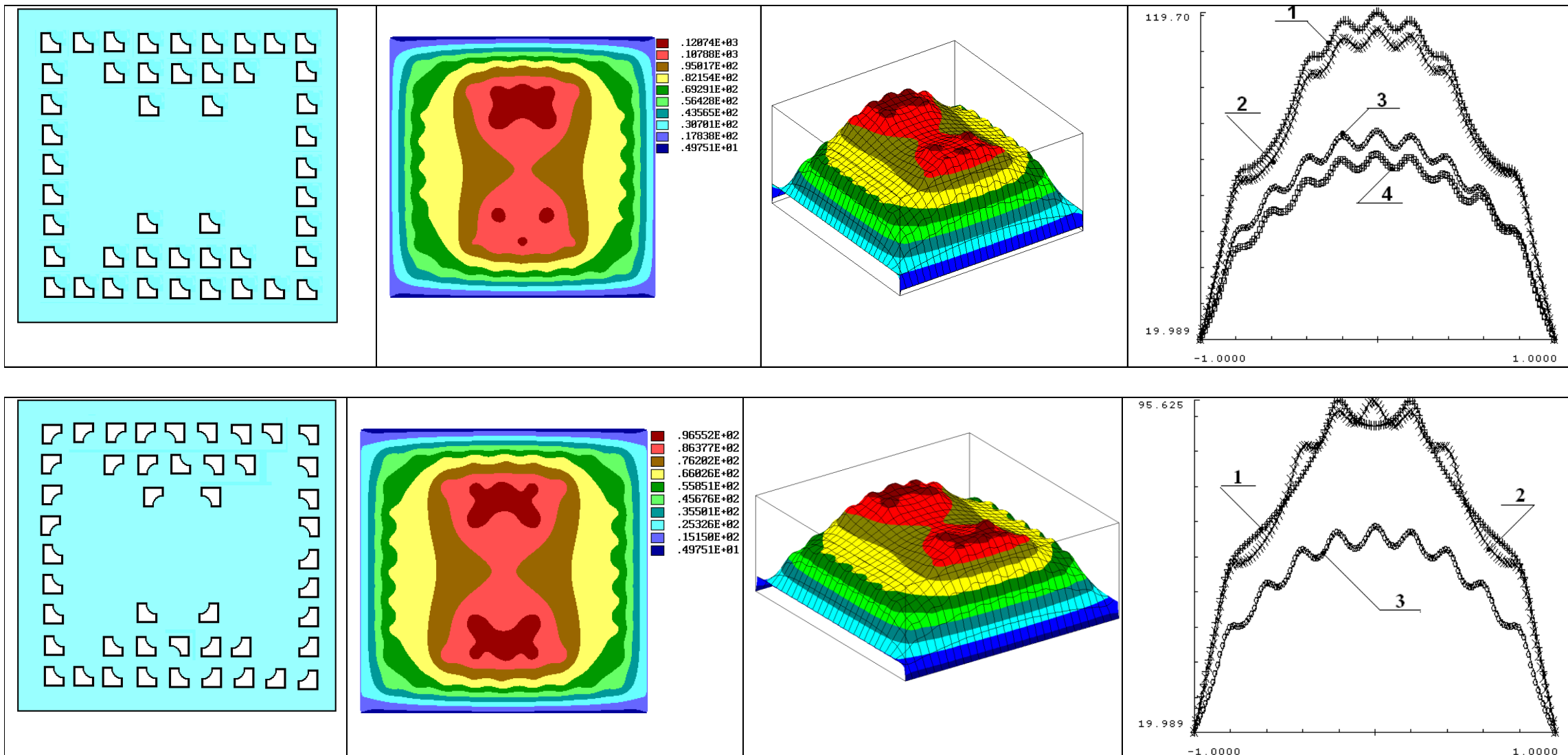
$$\frac{\partial^2 T}{\partial x^2} + \frac{\partial^2 T}{\partial y^2} - b^2 T = -\rho(x, y); \quad \rho(x, y) = \begin{cases} \frac{P_i}{4l_{1i}l_{2i}\delta\lambda}, & (x, y) \in \Omega_i, \\ 0, & (x, y) \in \left(\bigcup_{i=1}^N \Omega_i\right). \end{cases}; \quad \rho(x, y) = \sum_{i=1}^N \frac{1 + sign\omega_i}{2} \times \frac{P_i}{4l_{1i}l_{2i}\delta\lambda}_i; \quad u = T\lambda\delta P^{-1}, \quad Bi = \frac{\alpha L^2}{\lambda\delta}.$$

$$T_{\partial\Omega} = \varphi; \frac{\partial T}{\partial n} \Big|_{\partial\Omega} = \psi; \frac{\partial T}{\partial n} + hT \Big|_{\partial\Omega} = \xi$$



Распределение температурного поля в зависимости от расположения квадратных источников тепла в случае, когда на горизонтальных границах платы $u = 5$, а на вертикальных — $u = 20$

Графики температурного поля в сечениях **1** — $y = 0.35$ **2** — $y = 0.6$ **3** — $y = 0.8$

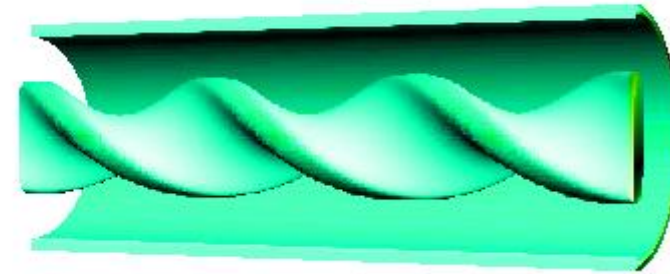
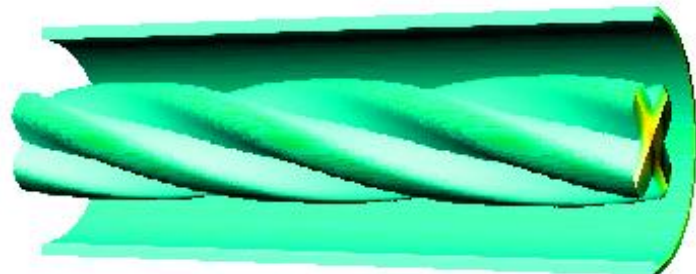
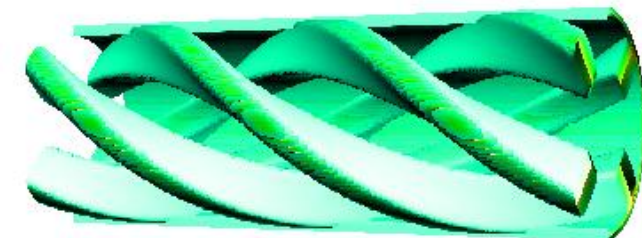
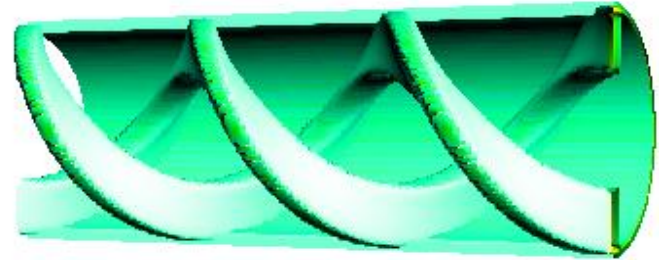
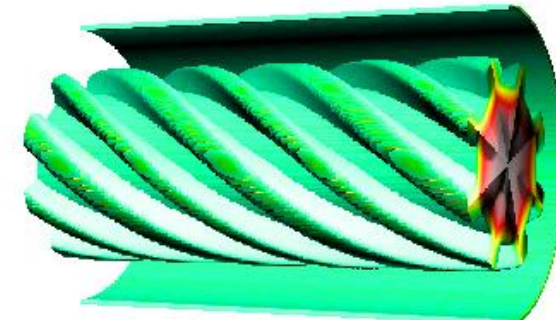
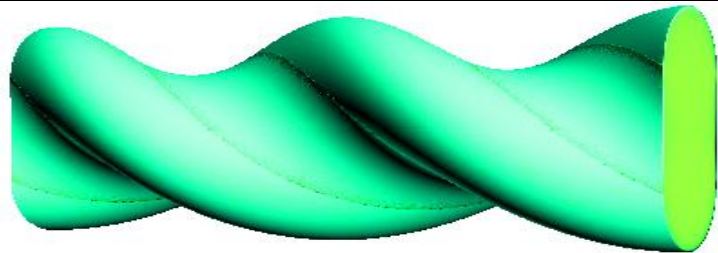


Переориентация источников позволила снизить температуру на 20%.

Математические модели движения несжимаемой вязкой жидкости и теплообмена в потоке вязкой жидкости по бесконечным каналам с винтовым типом симметрии

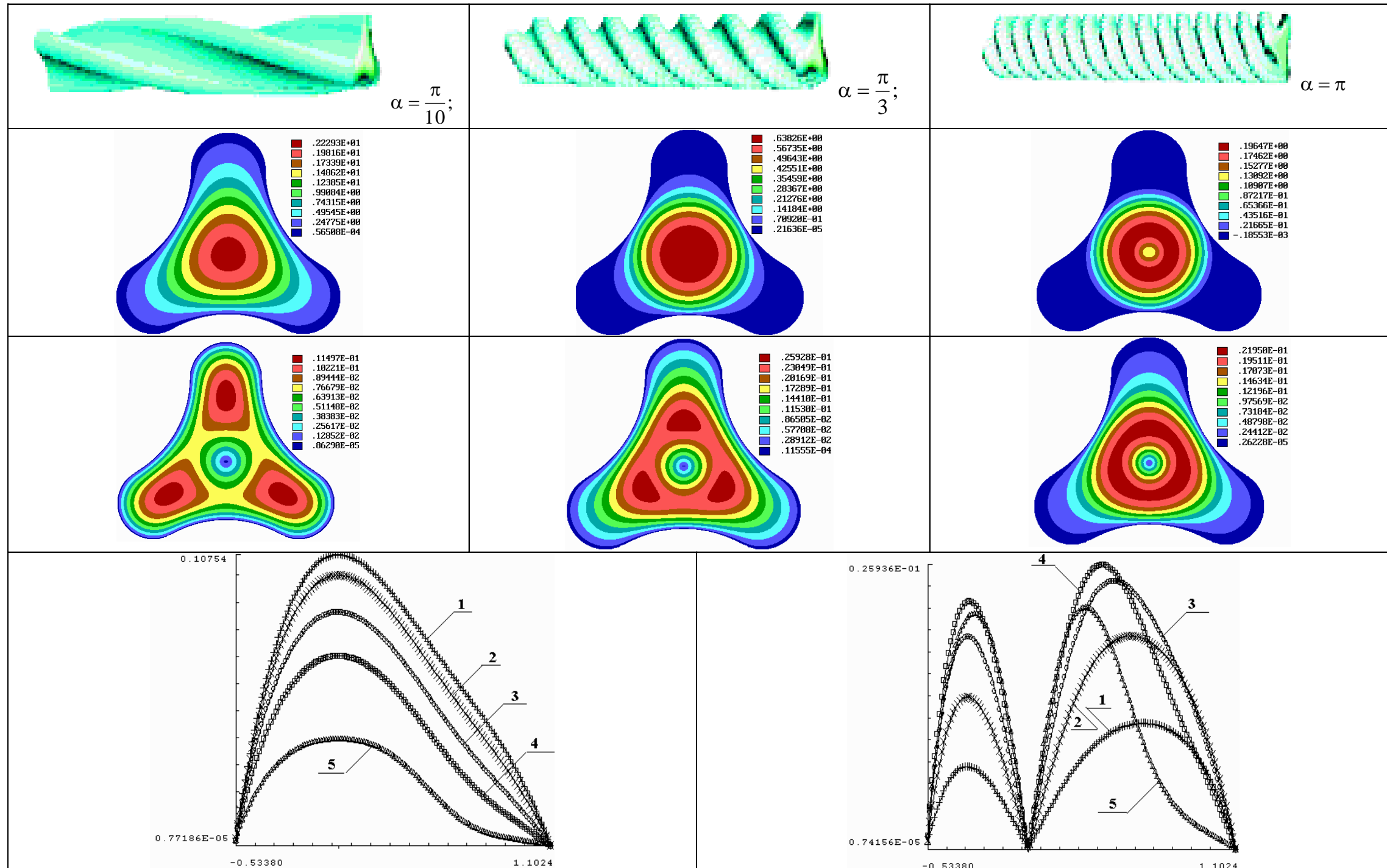
$$\omega(x, y) = 0; \quad \begin{cases} x \leftarrow x \cos \alpha z + y \sin \alpha z \\ y \leftarrow -x \sin \alpha z + y \cos \alpha z; \end{cases}$$

$$\alpha = \frac{2\pi}{H}; \quad \omega_1(x, y, z) \equiv \frac{\omega(\hat{x}, \hat{y})}{\sqrt{1 + \alpha^2 \left(\hat{y} \frac{\partial \omega}{\partial \hat{x}} - \hat{x} \frac{\partial \omega}{\partial \hat{y}} \right)^2}} = 0$$

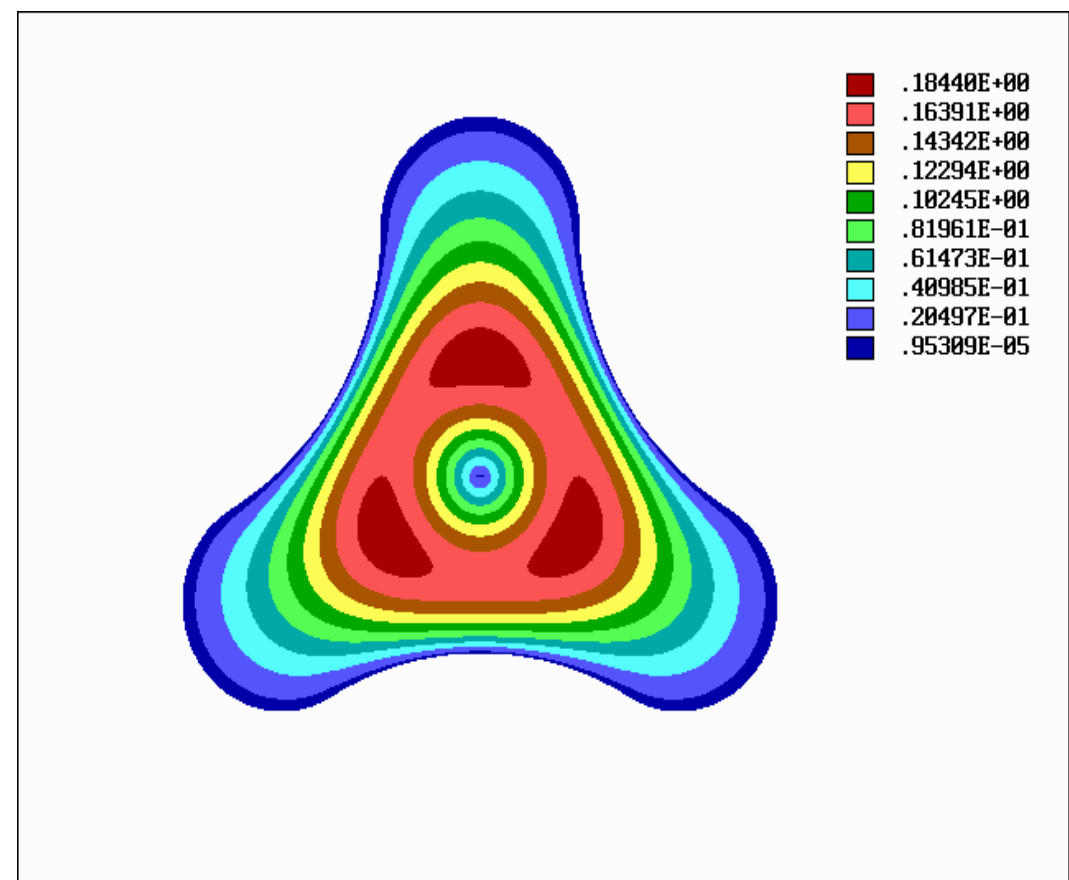
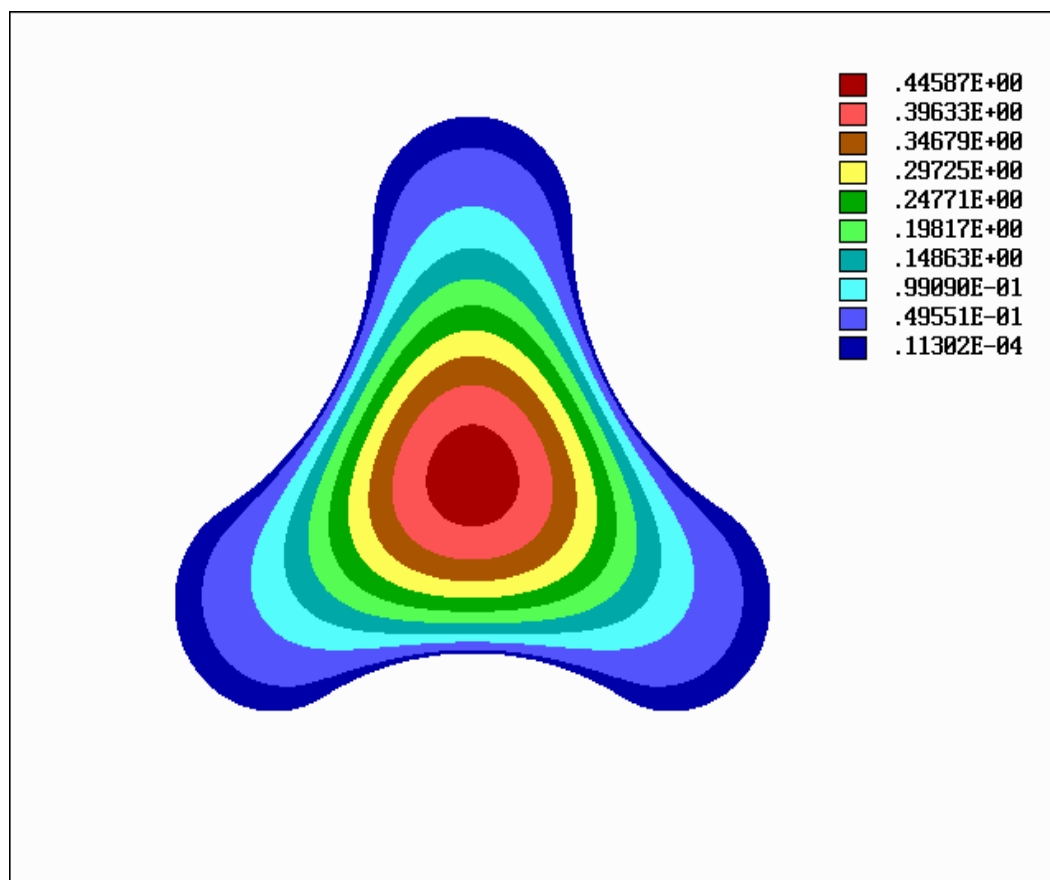


Каналы с винтовой симметрией

Скрученные трубы треугольного сечения с различными значениями параметра закрутки



Продольная и тангенциальная компоненты вектора скорости при различных значениях параметра закрутки



Профиль скорости и теплообмен в ТВЭЛе с полизональным оребрением

